

# Regulisani elektromotorni pogoni sa mašinama za jednosmernu struju

Osnovne karakteristike

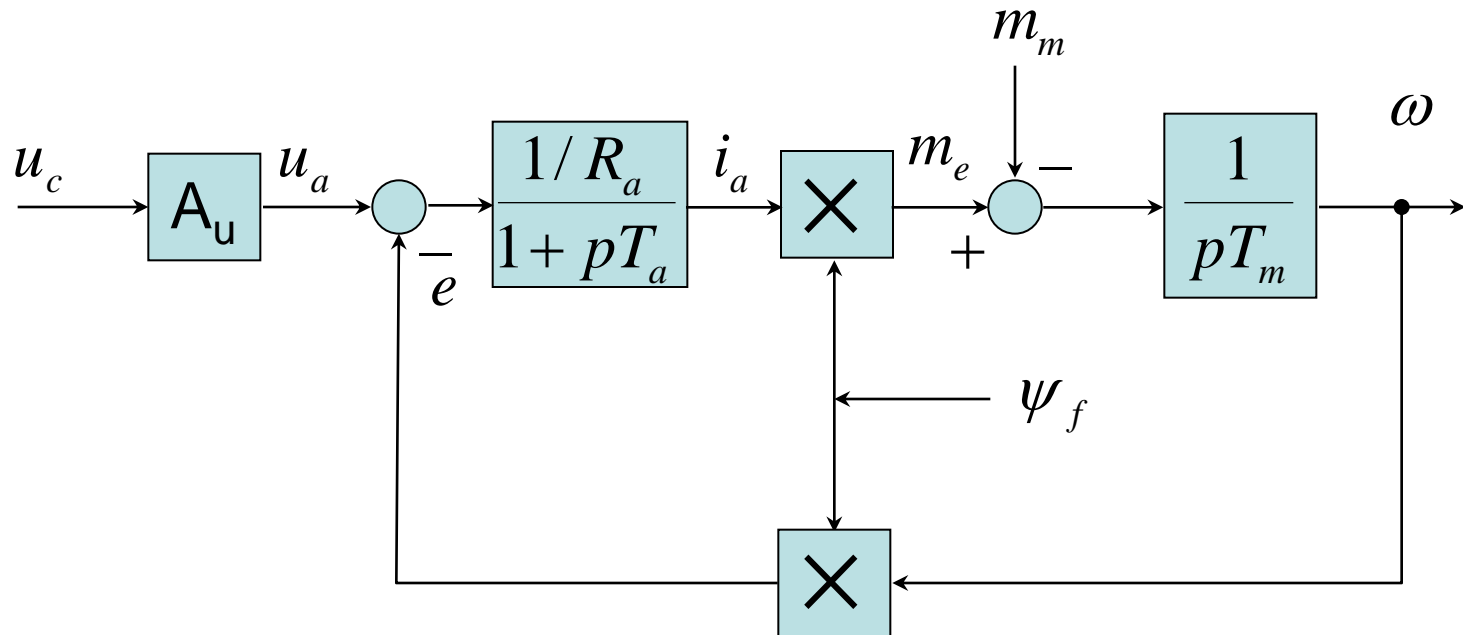
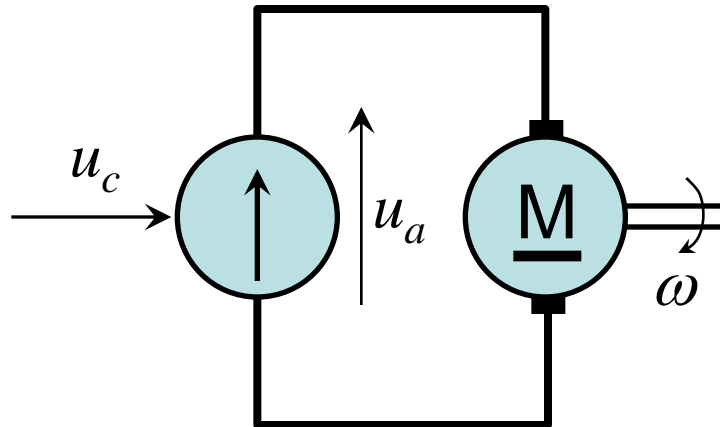
Načini realizacije (aktuatora)

Rad u 2 ili 4 kvadranta

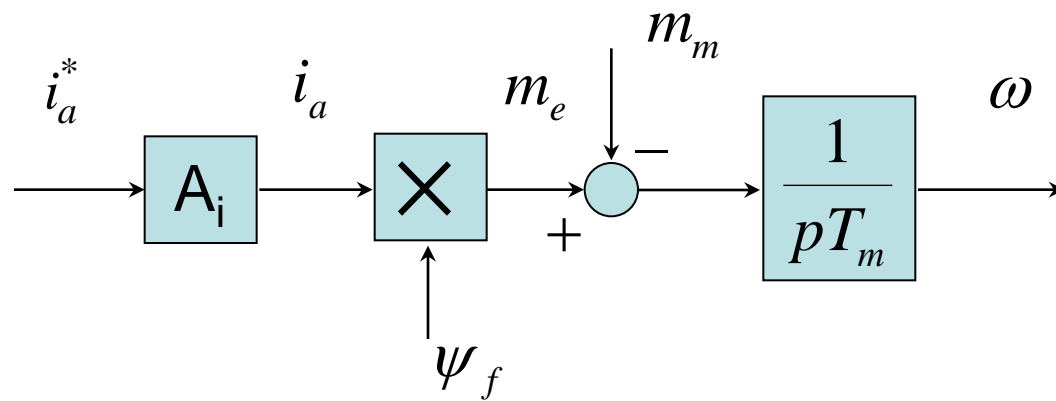
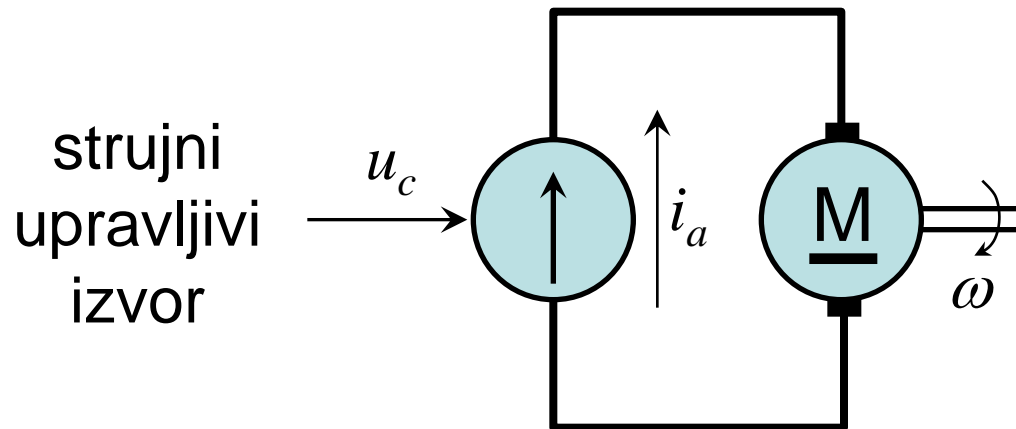
Rad u proširenom opsegu brzina

# Naponski izvor

naponski  
upravljivi  
izvor

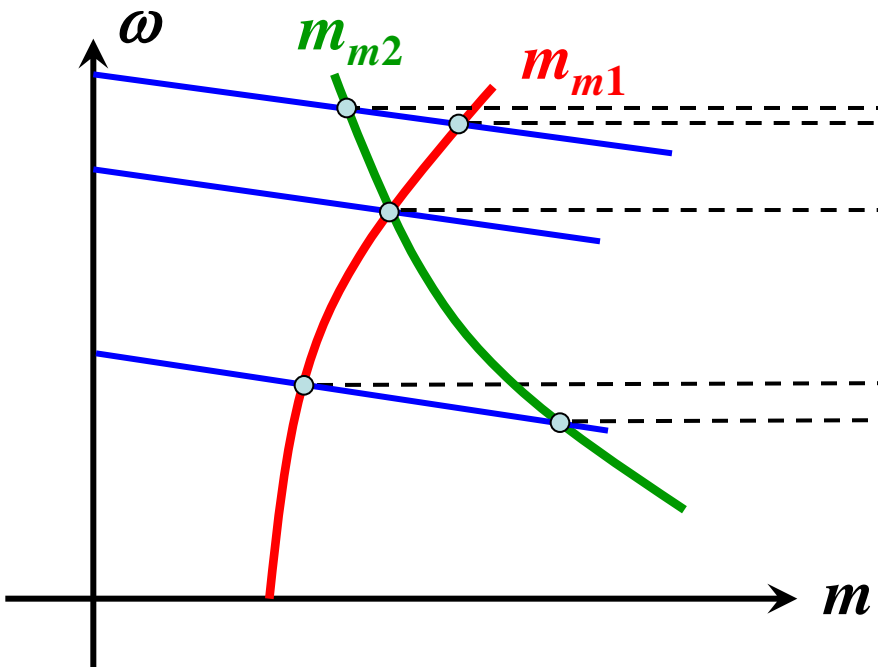


# Strujni izvor

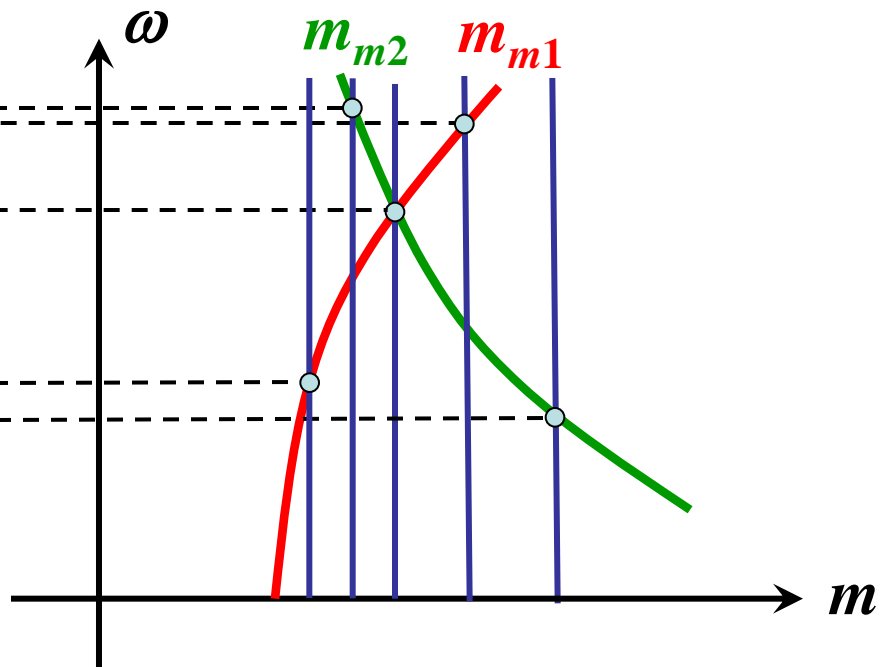


# Poređenje statičkih mehaničkih karakteristika

Naponski izvor  
(naponsko napajanje)

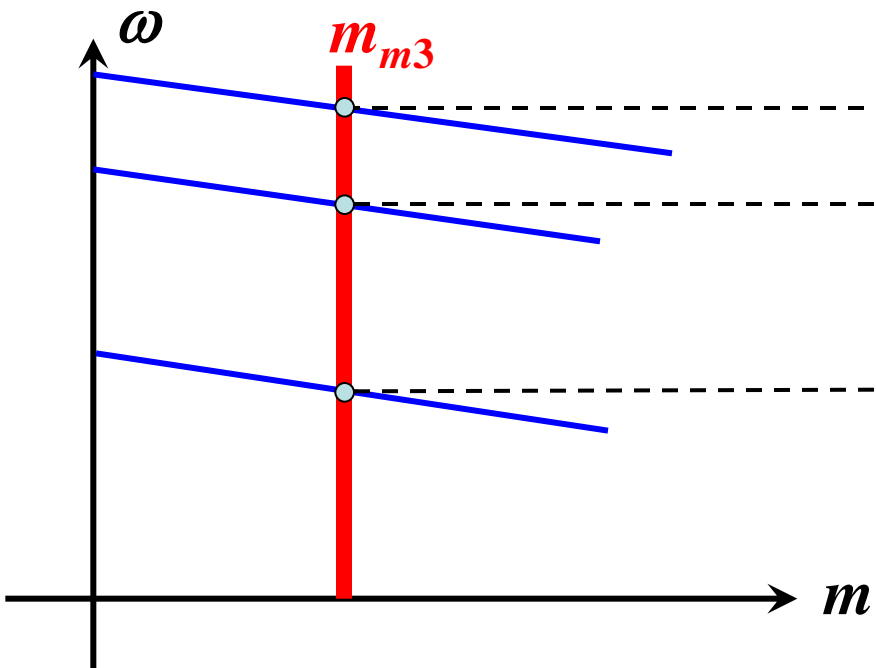


Strujni izvor  
(strujno napajanje)

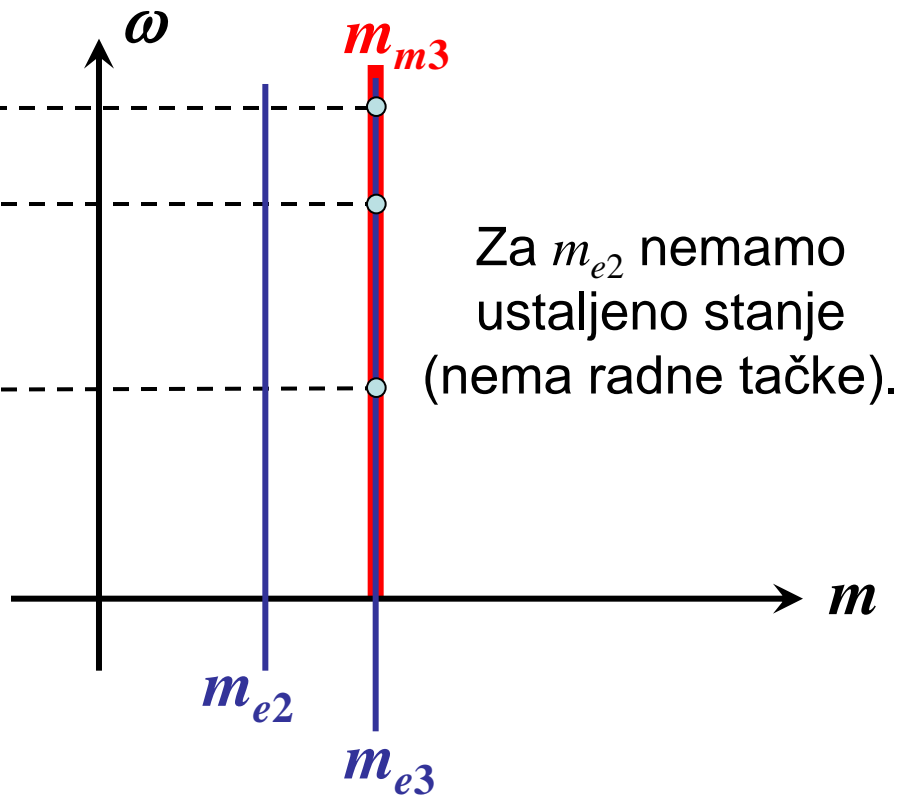


# Ukoliko je mehanička karakteristika opterećenja nezavisna od brzine

Naponski izvor  
(naponsko napajanje)



Strujni izvor  
(strujno napajanje)



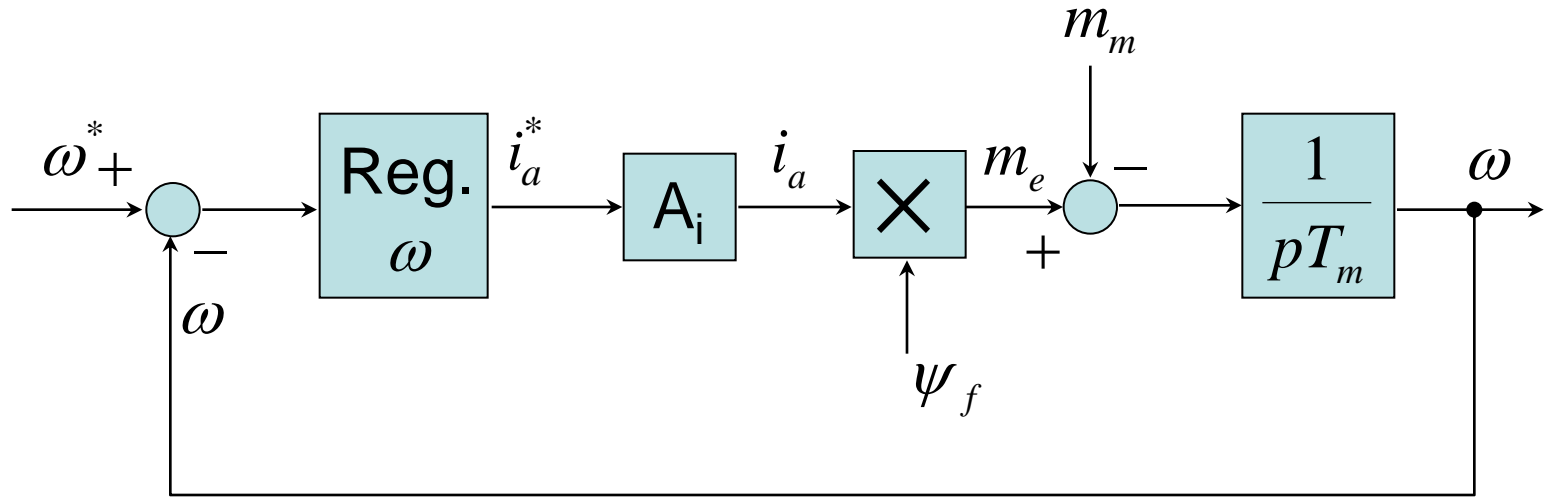
## Naponsko napajanje:

- sporiji odziv
- staticka stabilnost radne tacke
- nema kontrole nad strujom (prevazilazi se regulatorom struje)

## Strujno napajanje:

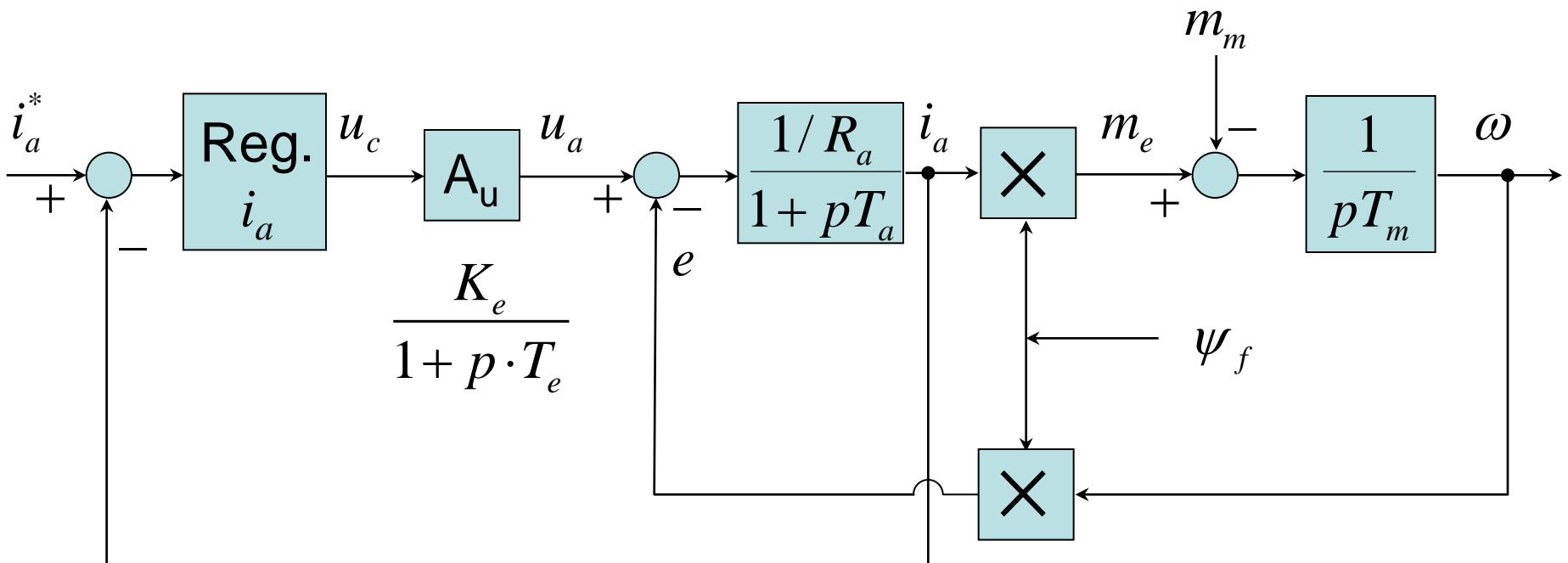
- brzi odziv (!)
- staticka stabilnost radne tacke - prevazilazi se regulatorom brzine
- neposredna kontrola nad strujom (momentom)

# Regulisani pogon sa regulatorom brzine sa jednosmernim motorom napajanim iz strujnog izvora



# Praktična realizacija strujnog izvora

## Naponski izvor + regulator struje



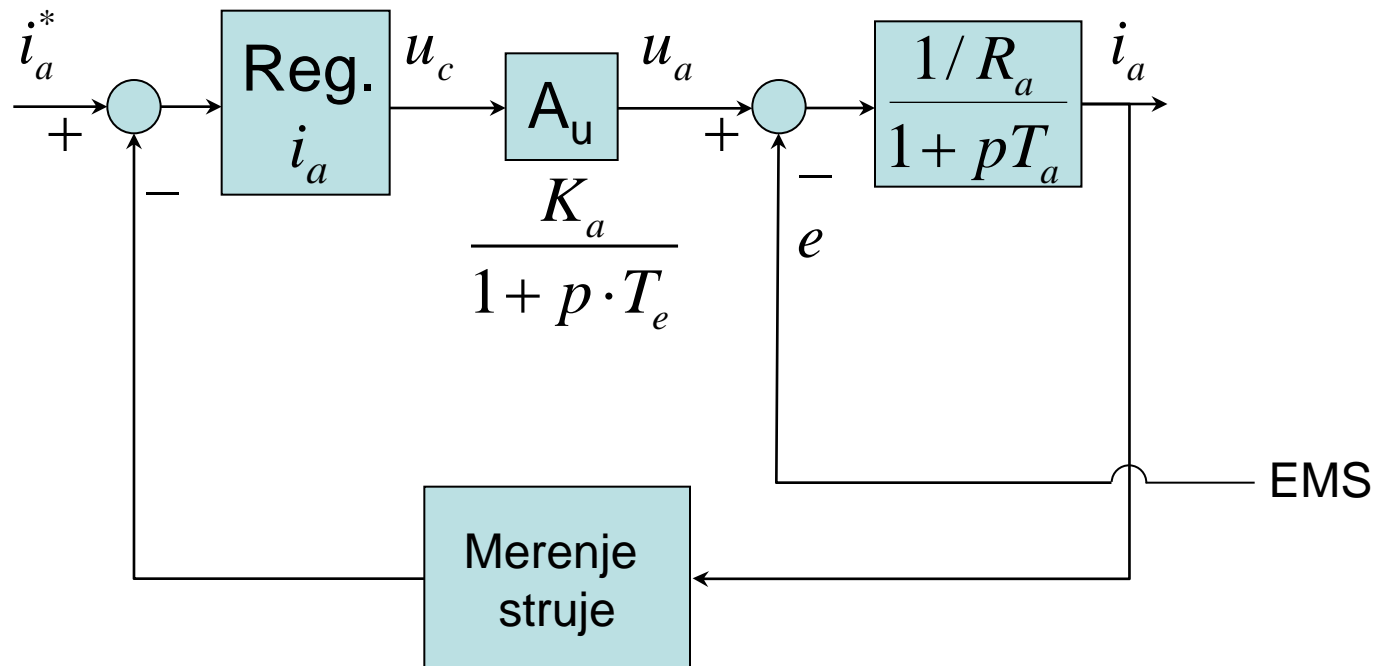
realni strujni izvor

$$T_e < T_a \quad (T_e \ll T_a)$$

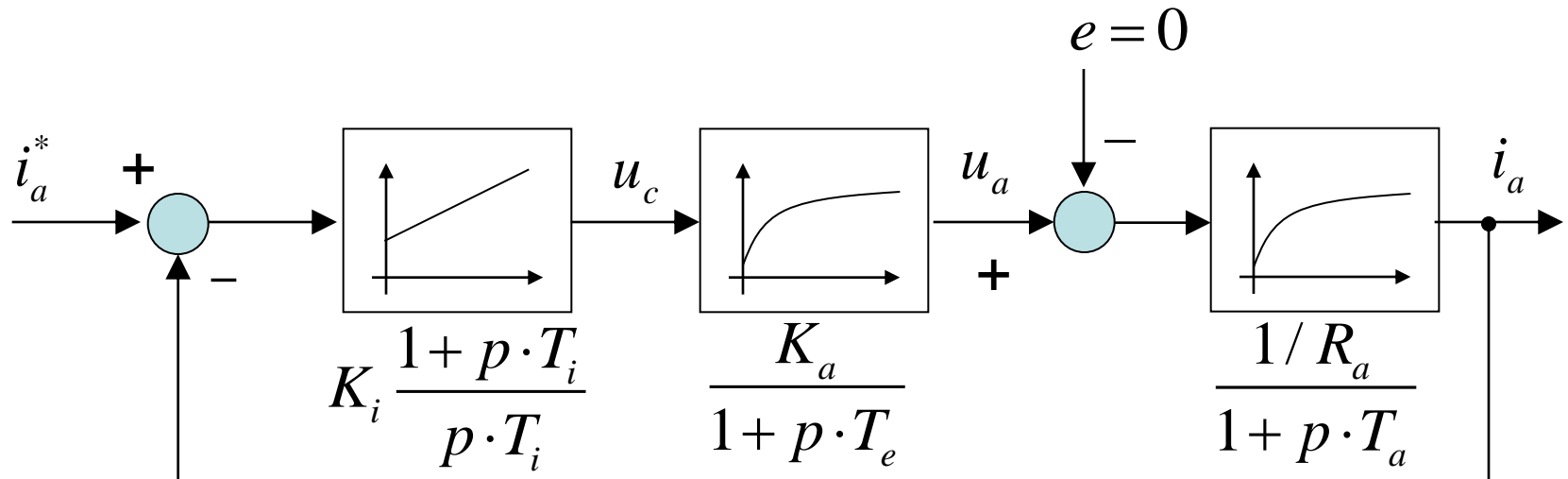
$$T_a \ll T_m$$

# Podešavanje parametara regulatora struje

# Blok dijagram sistema



# Blok dijagram konture regulacije struje



$$F_{0i}(p) = K_i \cdot \frac{1 + p \cdot T_i}{p \cdot T_i} \cdot \frac{K_a}{1 + p \cdot T_e} \cdot \frac{1 / R_a}{1 + p \cdot T_a} \quad T_a \gg T_e$$

Zanemarili smo blok (senzor) za merenje struje, smatramo da je idealan. Aktuator ima pojačanje i kašnjenje (uprošćeno).

Zanemarili smo uticaj elektromotorne sile, pošto se sporo menja. Smatramo da je to za konturu regulacije struje poremećaj, i u postupku podešavanja parametara vrednost je  $e=0$ .

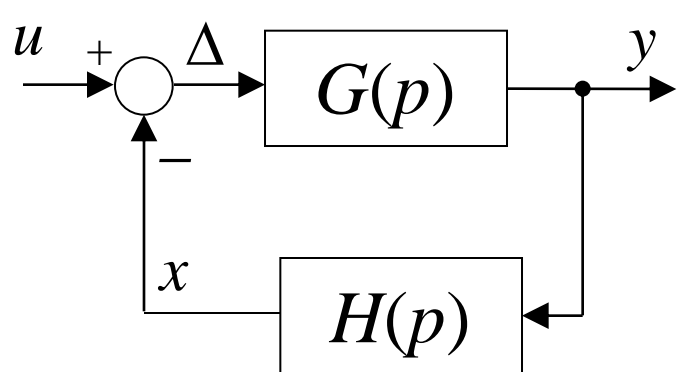
# Funkcija prenosa konture regulacije struje

$$F_{0i}(p) = K_i \cdot \frac{1 + p \cdot T_i}{p \cdot T_i} \cdot \frac{K_a}{1 + p \cdot T_e} \cdot \frac{1/R_a}{1 + p \cdot T_a} \quad T_a \gg T_e$$

Izvršimo kompenzaciju veće vremenske konstante

$$\rightarrow T_i = T_a$$

$$F_{0i}(p) = \frac{K_i \cdot K_a \cdot 1/R_a}{p \cdot T_i \cdot (1 + p \cdot T_e)}$$



$$\frac{y}{u}(p) = \frac{G(p)}{1 + G(p) \cdot H(p)}$$

$$H(p) = 1$$

$$F_{wi}(p) = \frac{F_{0i}(p)}{1 + F_{0i}(p)}$$

# Izbor parametara regulatora

$$F_{wi}(p) = \frac{K_i \cdot K_a \cdot (1/R_a)}{K_i \cdot K_a \cdot (1/R_a) + p \cdot T_i + p^2 \cdot T_i \cdot T_e}$$

$$a_0 = K_i \cdot K_a \cdot (1/R_a); \quad a_1 = T_i; \quad a_2 = T_i \cdot T_e$$

Primenjujemo definisan kriterijum optimizacije modula funkcije prenosa

$$a_1^2 = 2 \cdot a_0 \cdot a_2$$

$$K_i \cdot K_a \cdot 1/R_a = \frac{T_i}{2 \cdot T_e} \quad \rightarrow$$

$$K_i = \frac{T_i}{2 \cdot K_a \cdot (1/R_a) \cdot T_e}$$

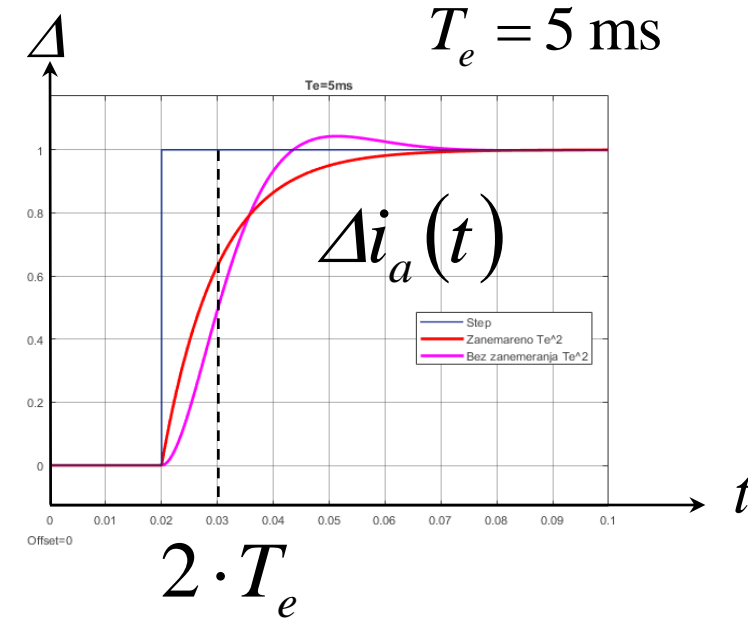
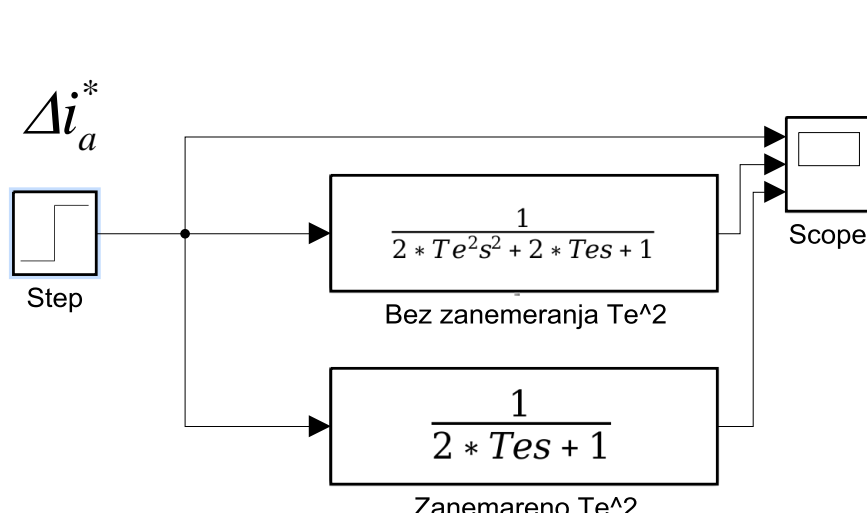
$$F_{wi}(p)_{opt.} = \frac{i_a(p)}{i_a^*(p)} = \frac{1}{1 + p \cdot 2 \cdot T_e + p^2 \cdot 2 \cdot T_e^2}$$

Brzina promene brzine je značajno manja od brzine promene struje indukta  $i_a$ .

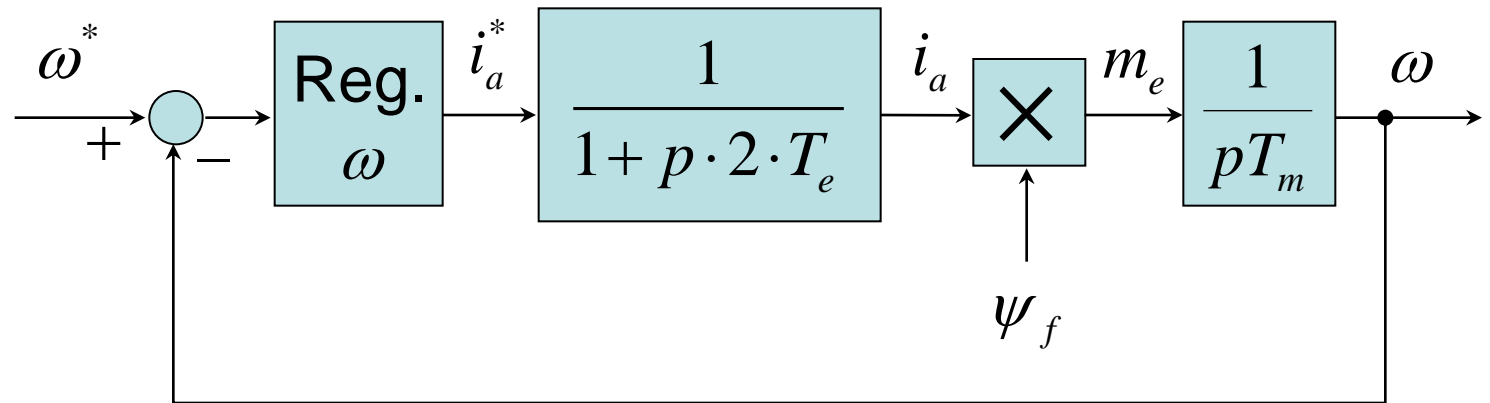
Pri promeni  $\Delta i_a^* \sim \Delta i_a$  važi  $\Delta \omega \approx 0$  i  $\Delta e \approx 0$

Ukoliko vremenska konstanta  $T_e$  ima malu vrednost, možemo zanemariti kvadratni član.

$$\frac{1}{1 + p \cdot 2 \cdot T_e + p^2 \cdot 2 \cdot T_e^2} \underset{\approx 0}{\underset{\approx 0}{\approx}} \frac{1}{1 + p \cdot 2 \cdot T_e}$$



## Regulator brzine:



$$F_\omega(p) = K_\omega \cdot \frac{1 + p \cdot T_\omega}{p \cdot T_\omega}$$

$$F_{0\omega}(p) = \frac{K_\omega \cdot (1 + p \cdot T_\omega) \cdot \psi_f}{p^2 \cdot T_\omega \cdot T_m \cdot (1 + p \cdot 2 \cdot T_e)} = \frac{K'_\omega \cdot (1 + p \cdot T_\omega)}{p^2 \cdot T_\omega \cdot T_m \cdot (1 + p \cdot 2 \cdot T_e)}$$

$$K'_\omega = K_\omega \cdot \psi_f$$

$$F_{w\omega}(p) = \frac{F_{0\omega}(p)}{1 + F_{0\omega}(p)}$$

# Funkcija spregnutog prenosa brzinske petlje

$$F_{w\omega}(p) = \frac{K'_\omega \cdot (1 + p \cdot T_\omega)}{p^2 \cdot T_\omega \cdot T_m \cdot (1 + p \cdot 2 \cdot T_e) + K'_\omega \cdot (1 + p \cdot T_\omega)}$$

$$F_{w\omega}(p) = \frac{K'_\omega \cdot (1 + p \cdot T_\omega)}{p^3 \cdot \underbrace{T_\omega \cdot T_m \cdot 2 \cdot T_e}_{a_3} + p^2 \cdot T_\omega \cdot T_m + p \cdot \underbrace{T_\omega \cdot K'_\omega}_{a_1} + K'_\omega \cdot a_0}$$

Primenom optimizacije:  $a_1^2 = (a) \cdot a_0 \cdot a_2$      $a_2^2 = (a) \cdot a_1 \cdot a_3$

$$T_\omega = a^2 \cdot 2 \cdot T_e; \quad K'_\omega = \frac{1}{a} \cdot \frac{T_m}{2 \cdot T_e}$$

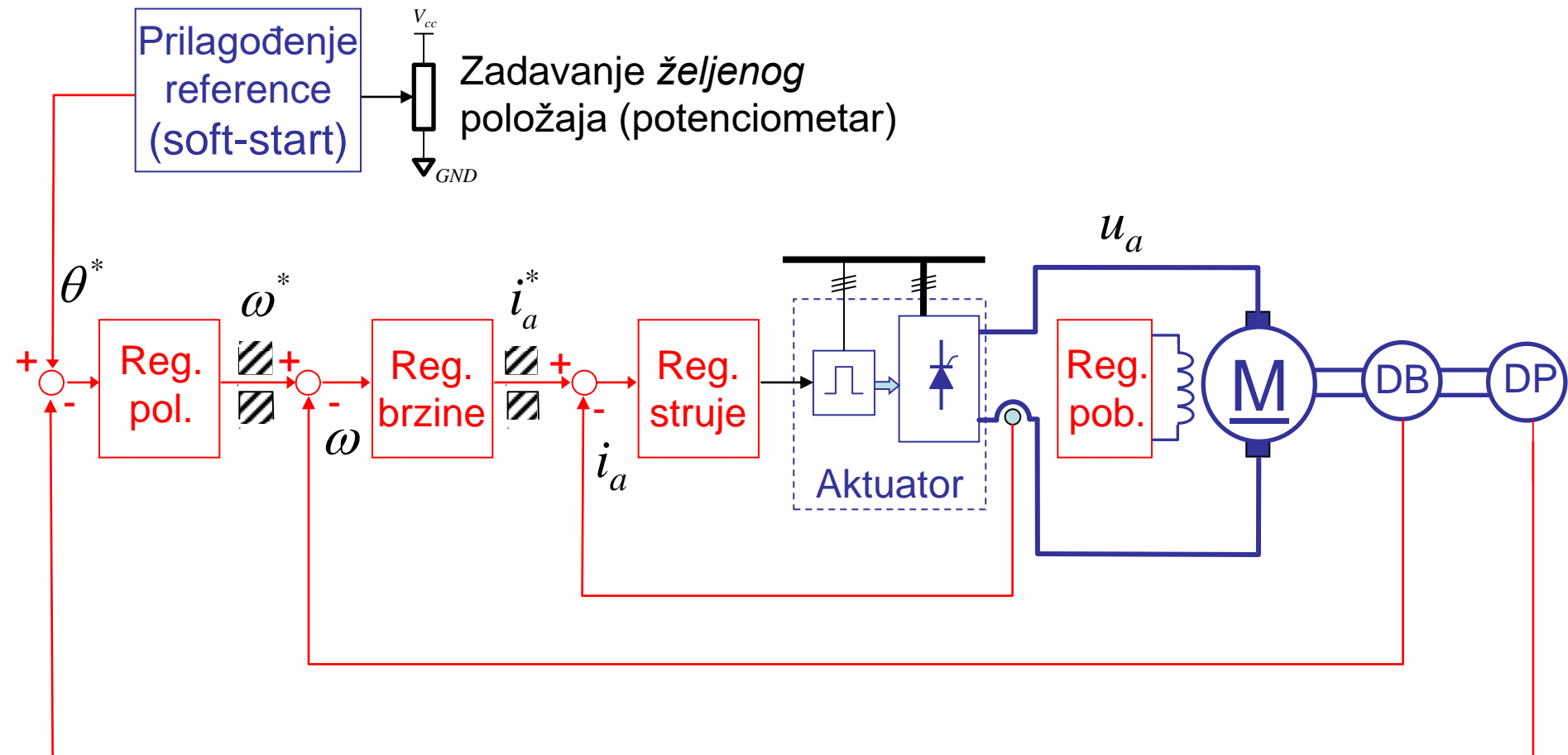
gde je  $a = 2\zeta + 1$

$\zeta$  - željeni relativni faktor prigušenja zatvorene brzinske petlje.

Sledi da je:

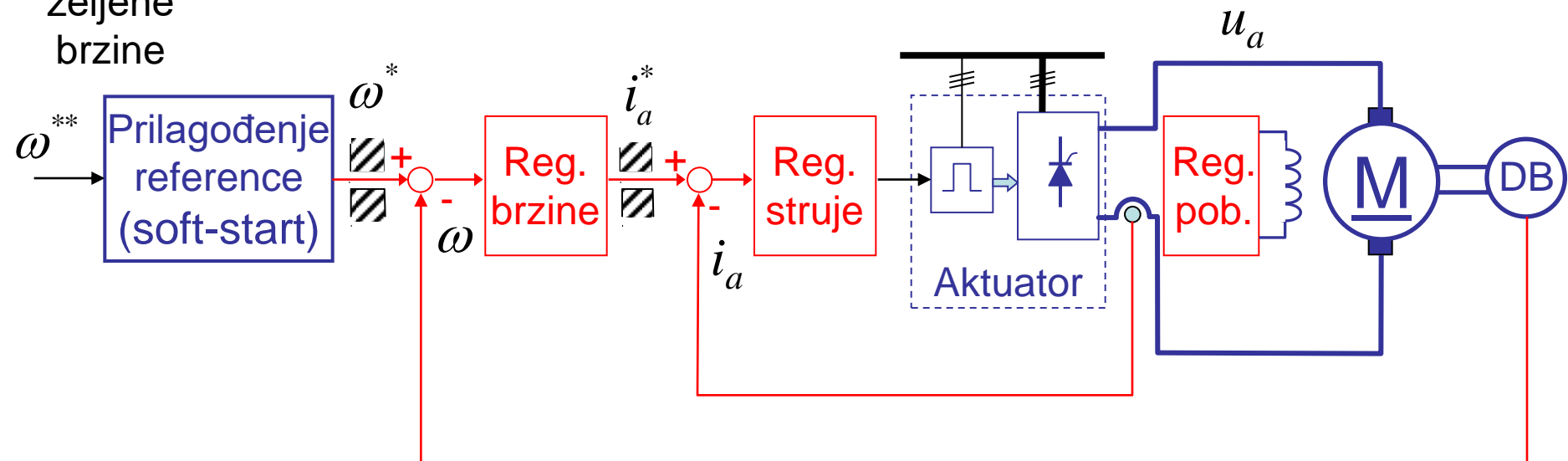
$$K_\omega = \frac{1}{\psi_f} \cdot \frac{T_m}{a \cdot 2 \cdot T_e}$$

# Regulisani elektromotorni pogon sa motorom jednosmerne struje - osnovna struktura

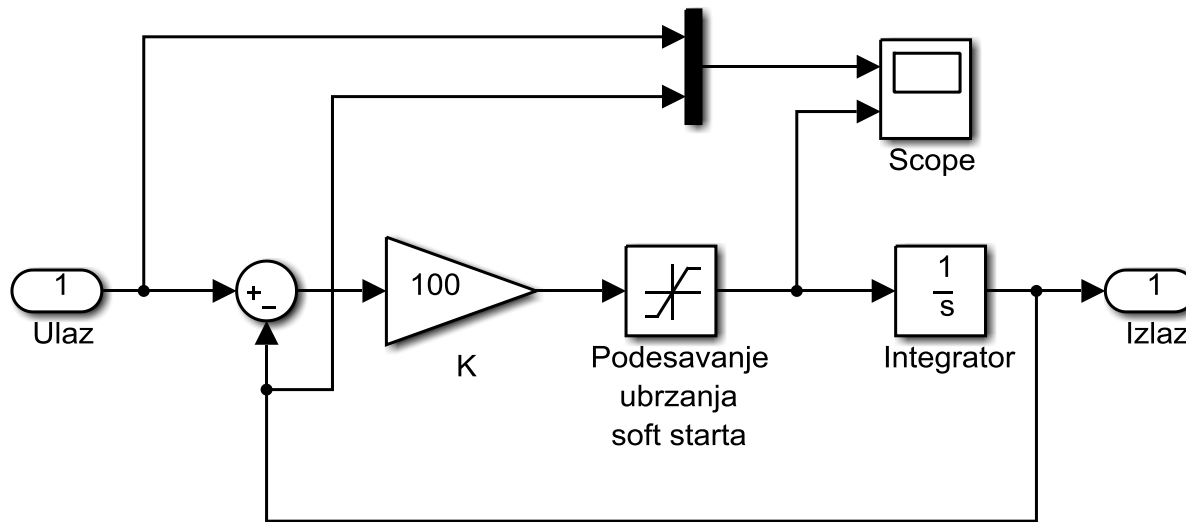


# Regulisani elektromotorni pogon sa motorom jednosmerne struje bez regulacije položaja

Zadavanje  
željene  
brzine

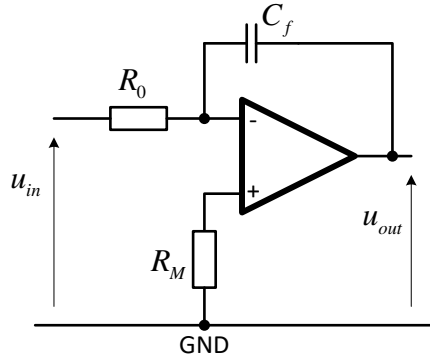


# Realizacija bloka za prilagođenje reference

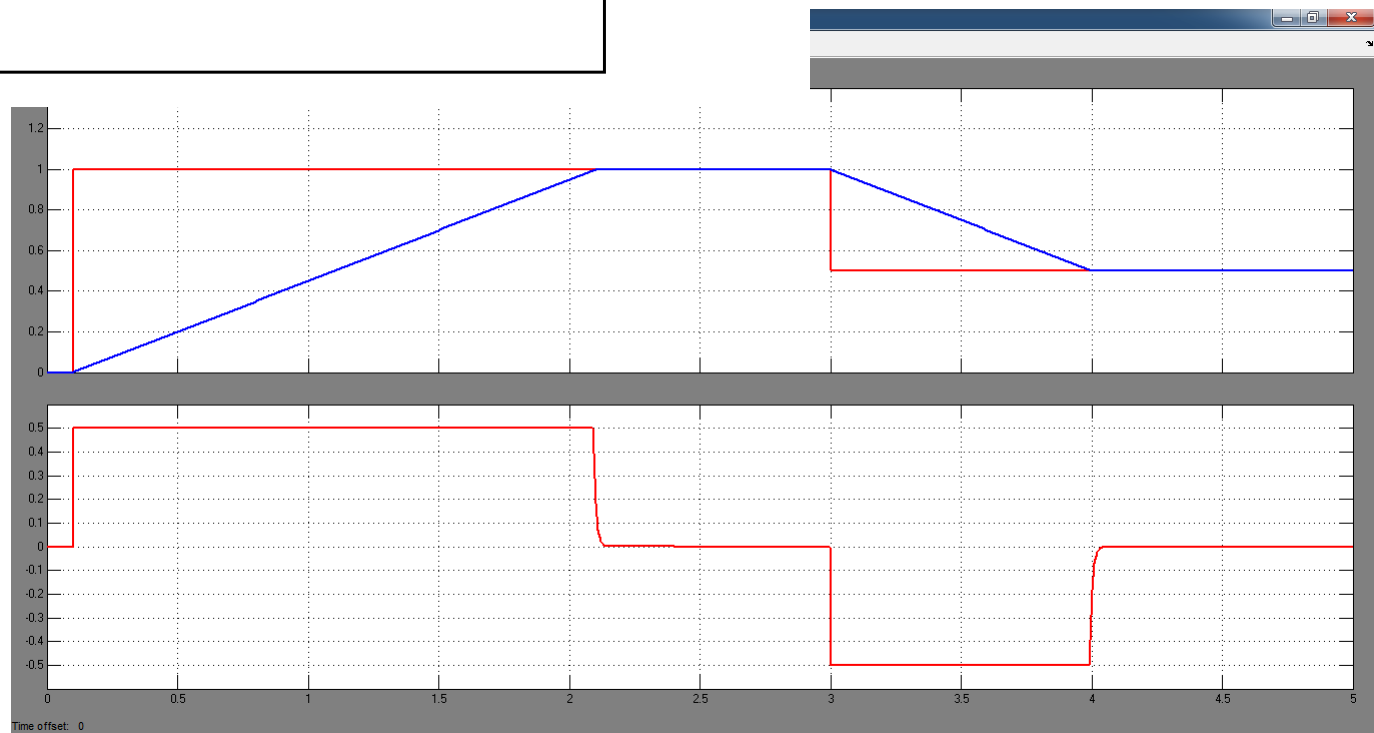


Integrator u  
kontinualnom  
vremenskom  
domenu

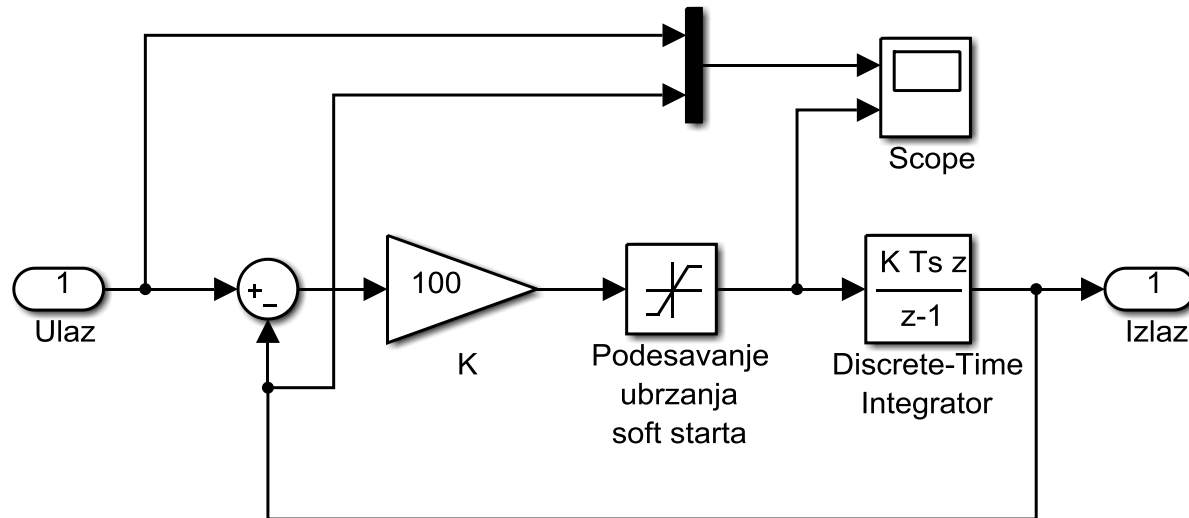
Limit =  $\pm 0,5$



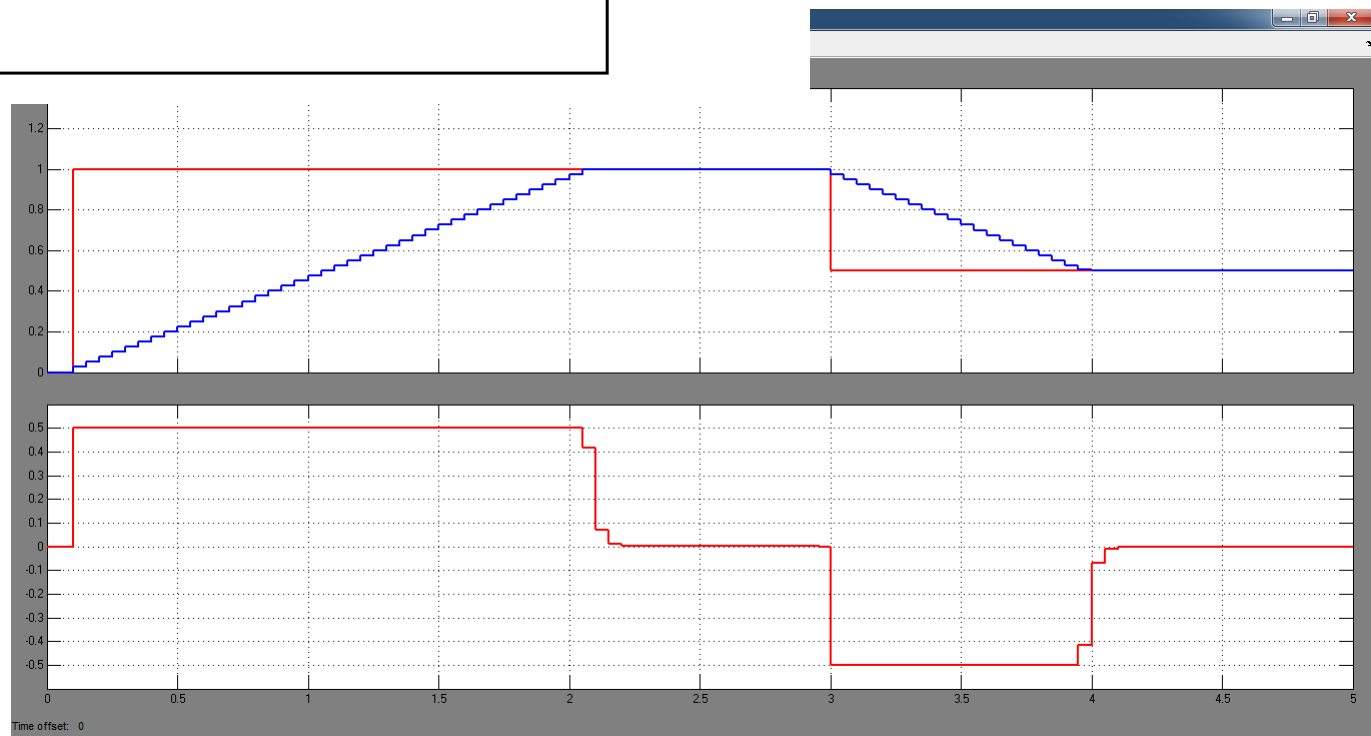
Invertuje signal



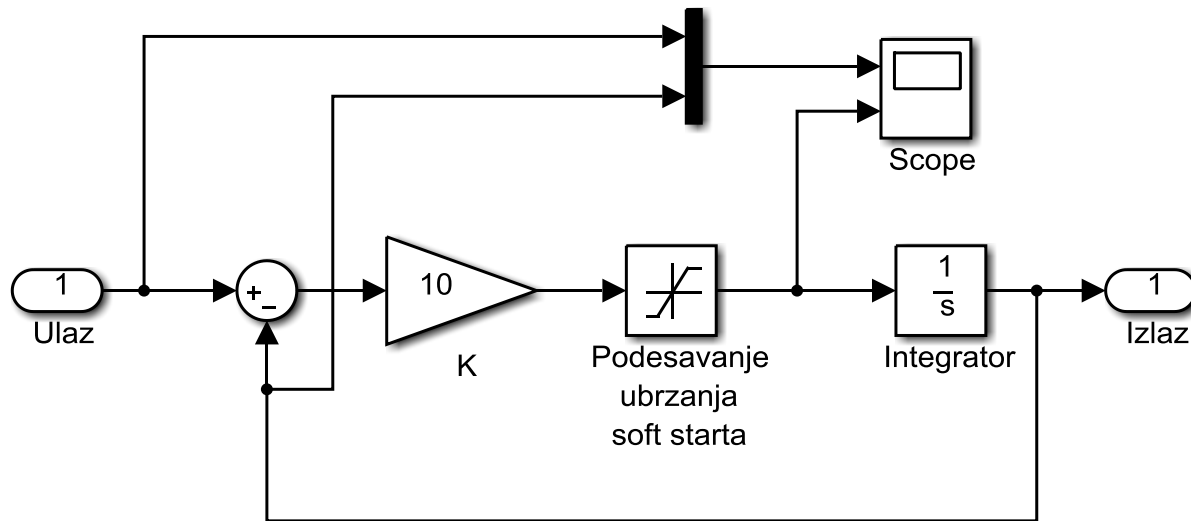
# Realizacija bloka za prilagođenje reference



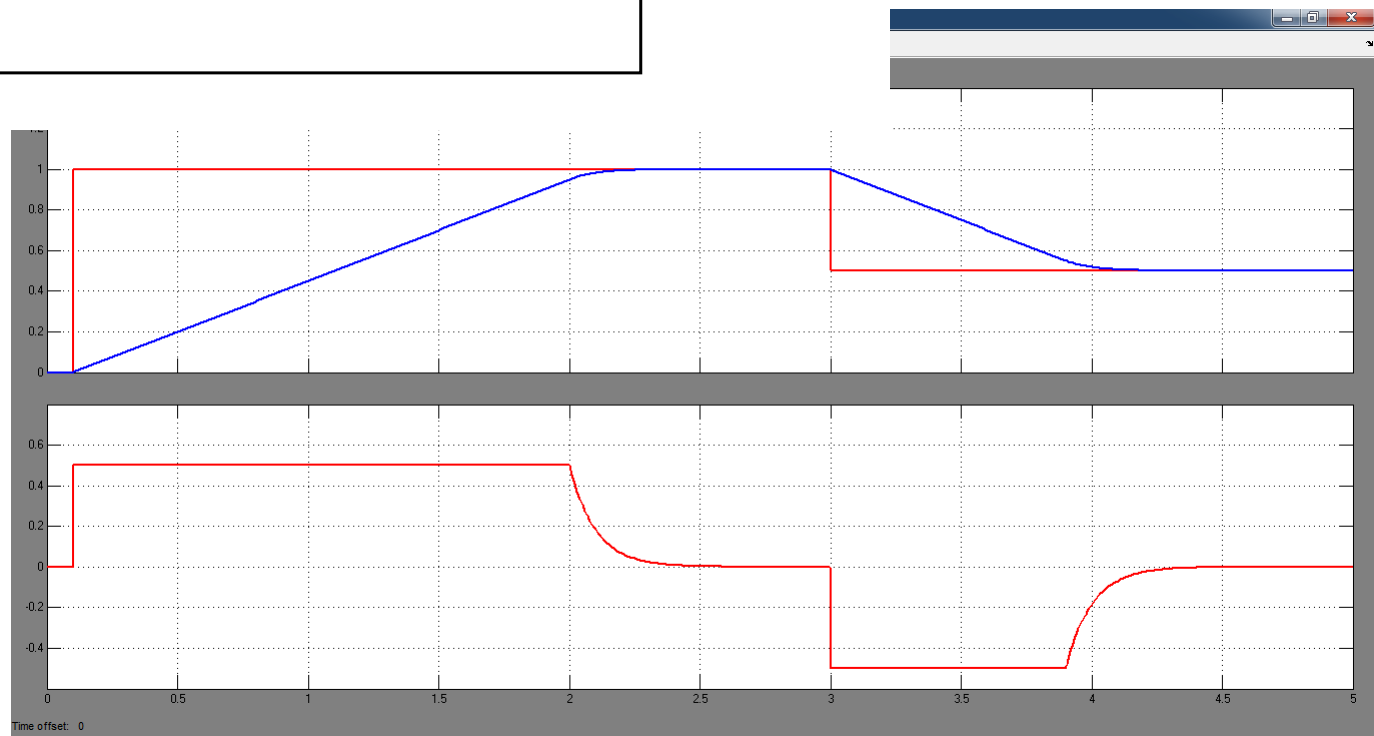
Integrator u  
diskretnom  
vremenskom  
domenu



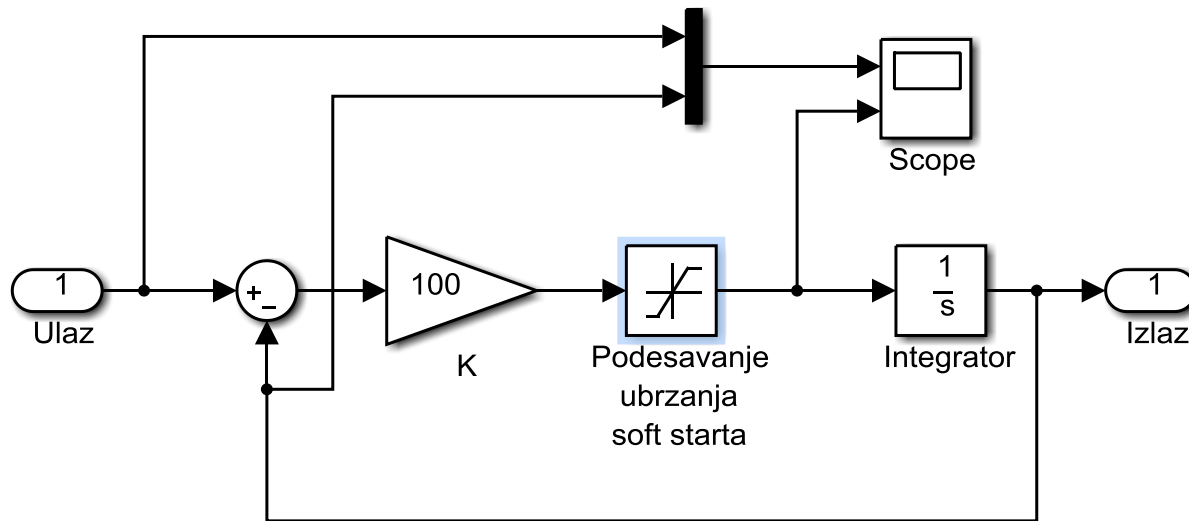
# Realizacija bloka za prilagođenje reference



Uticaj  
pojačanja

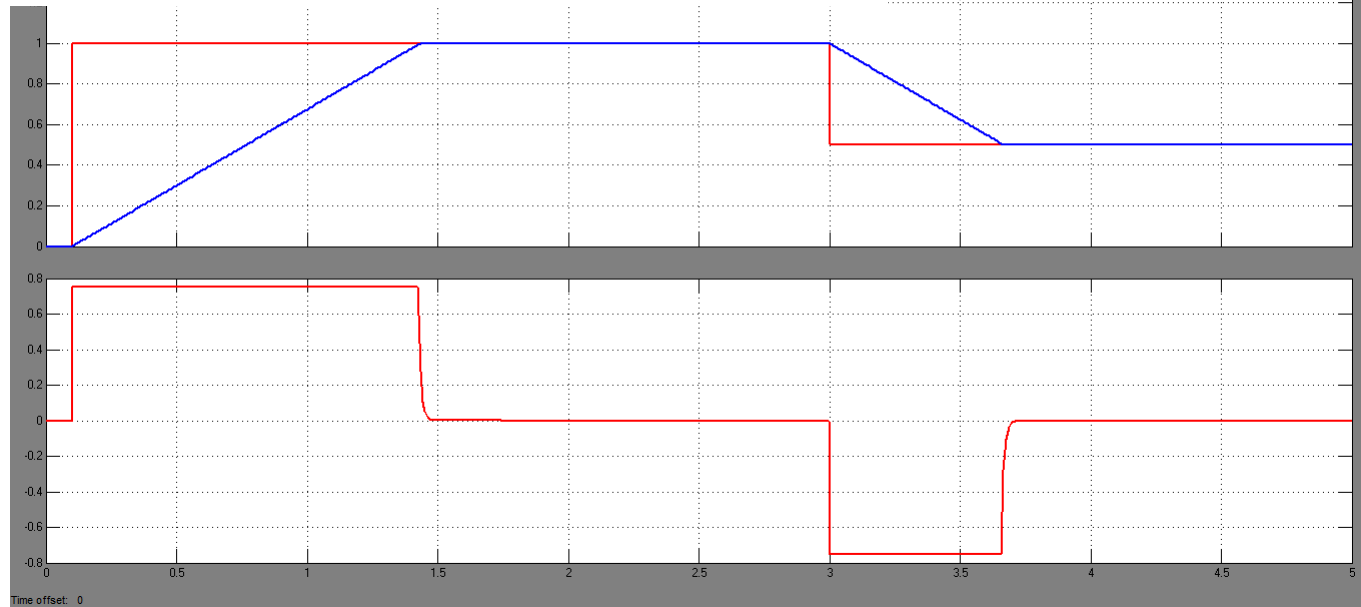


# Realizacija bloka za prilagođenje reference

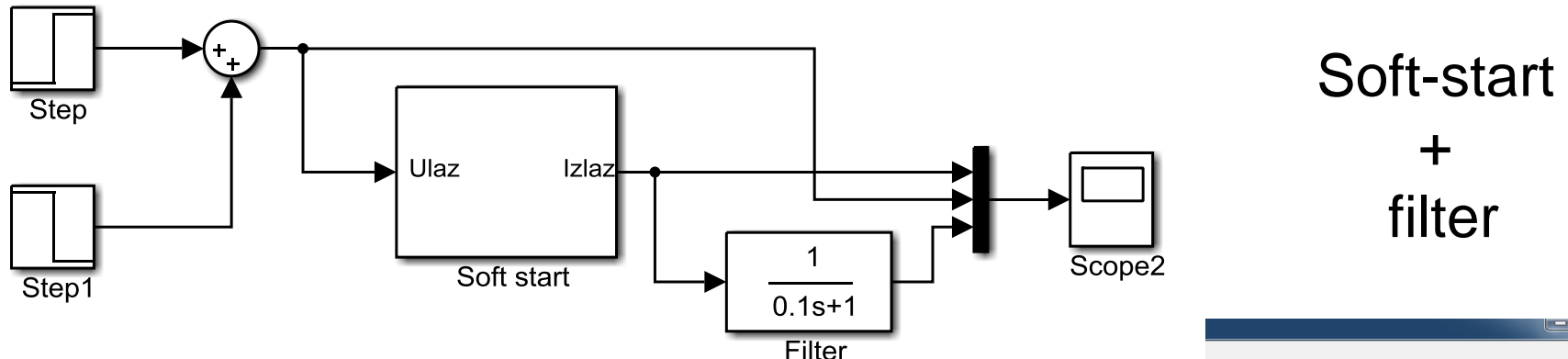


Uticaj  
promene limita  
na ubrzanje

Limit =  $\pm 0,75$



# Realizacija bloka za prilagođenje reference

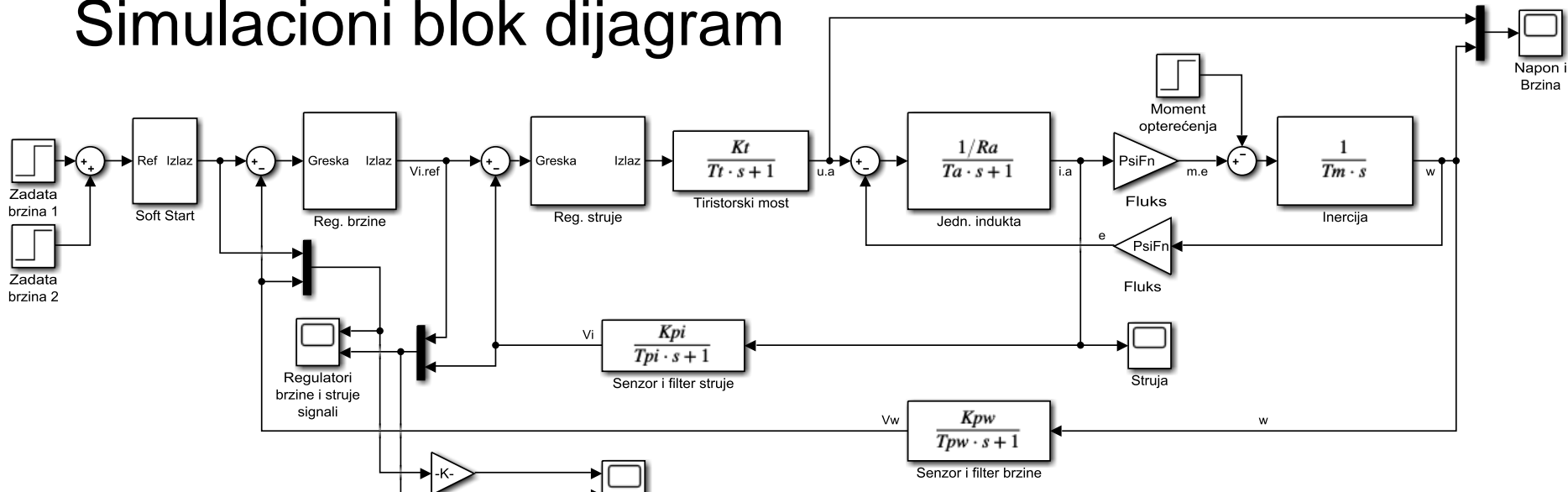


Soft-start  
+  
filter

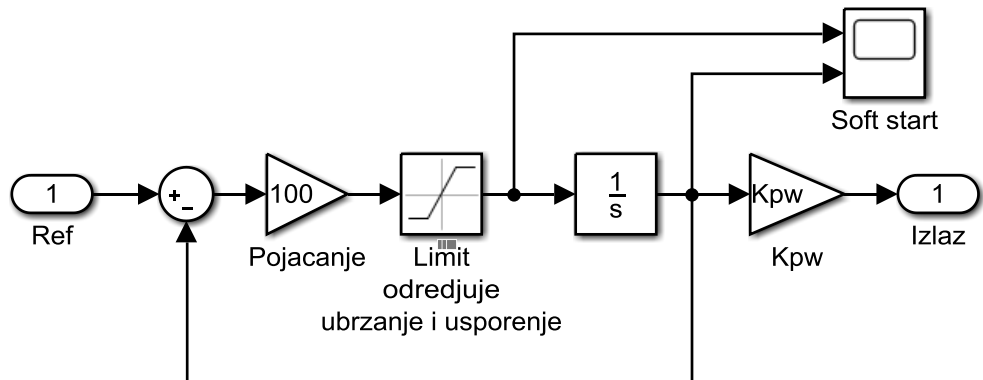
Limit =  $\pm 1,5$



# Simulacioni blok dijagram



Soft start



Regulator brzine

Regulator struje ima isti blok dijagram, ali druge parametre: pojačanje ( $K_i$ ), vremensku konstantu integralnog dejstva ( $T_i$ ) i limite integralnog dejstva i izlaza (LIM\_UC)

# Parametri

```
Ra = 0.075;
% u relativnim jedinicama
PsiFn = 1-Ra;
Ta = 30e-3;                                % reg. struje
Tm = 1.92;
Mmn = PsiFn;
mm = Mmn/2;

ktg = 0.05;
Kpw = ktg;
Tpw = 52.8e-3;
Kpi = 0.025;
Tpi = 2.6e-3;
Tt = 1.66e-3;
Kt = 30;

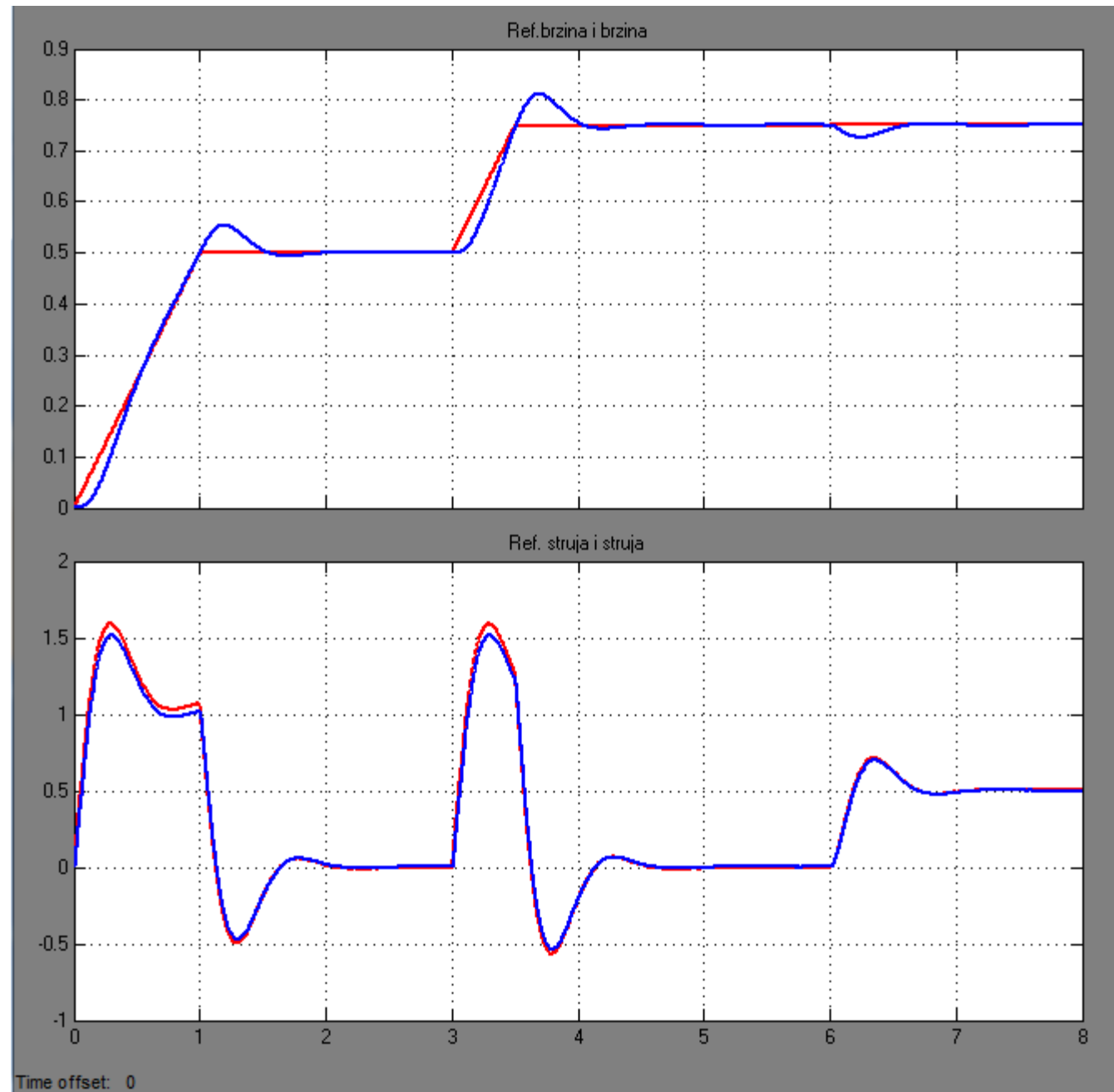
Te = Tt+Tpi;
Te2 = 2*Te+Tpw;
Ti = Ta;
Ki = Ta/(2*Kt*Kpi*(1/Ra)*Te);
% reg. brzine
Tw = 4*Te2;
Kw = (Tm*Kpi)/(2*Te2*Kpw*PsiFn);

Vwref1 = 0.5;    % * Kpw;
Vwref2 = 0.25;   % * Kpw;
LIM_UC = 1;
LIM_IA = 2 * Kpi;
LIM_SS = 0.5;
```

Početna  
zadata brzina  
je  
 $0,5 \omega_{nom}$ .

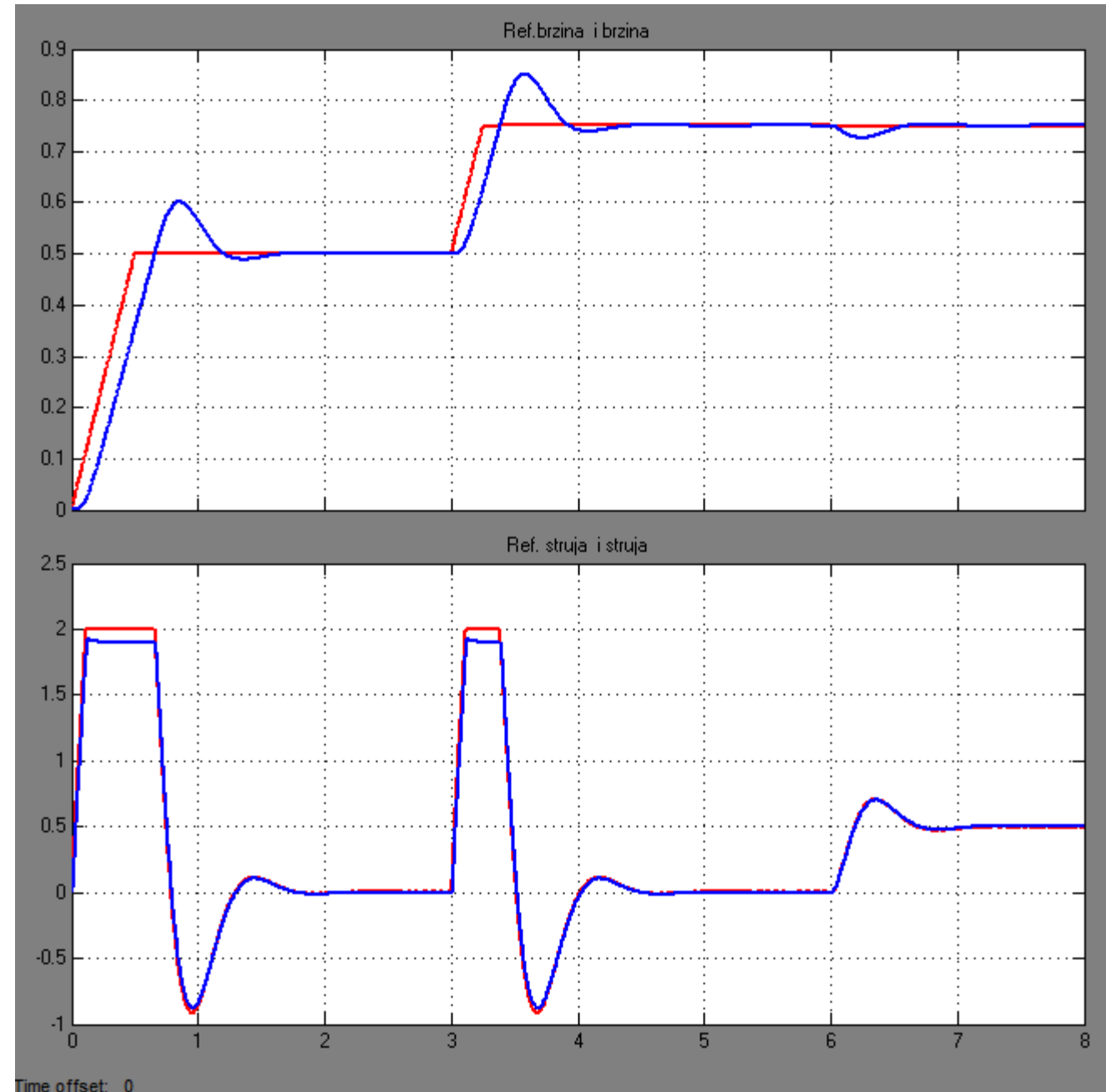
U trenutku  
 $t=3s$  zadaje se  
brzina  
 $0,75 \omega_{nom}$ .

Opterećenje  
pogona  
polovinom  
nominalnog  
momenta je u  
 $t = 6s$

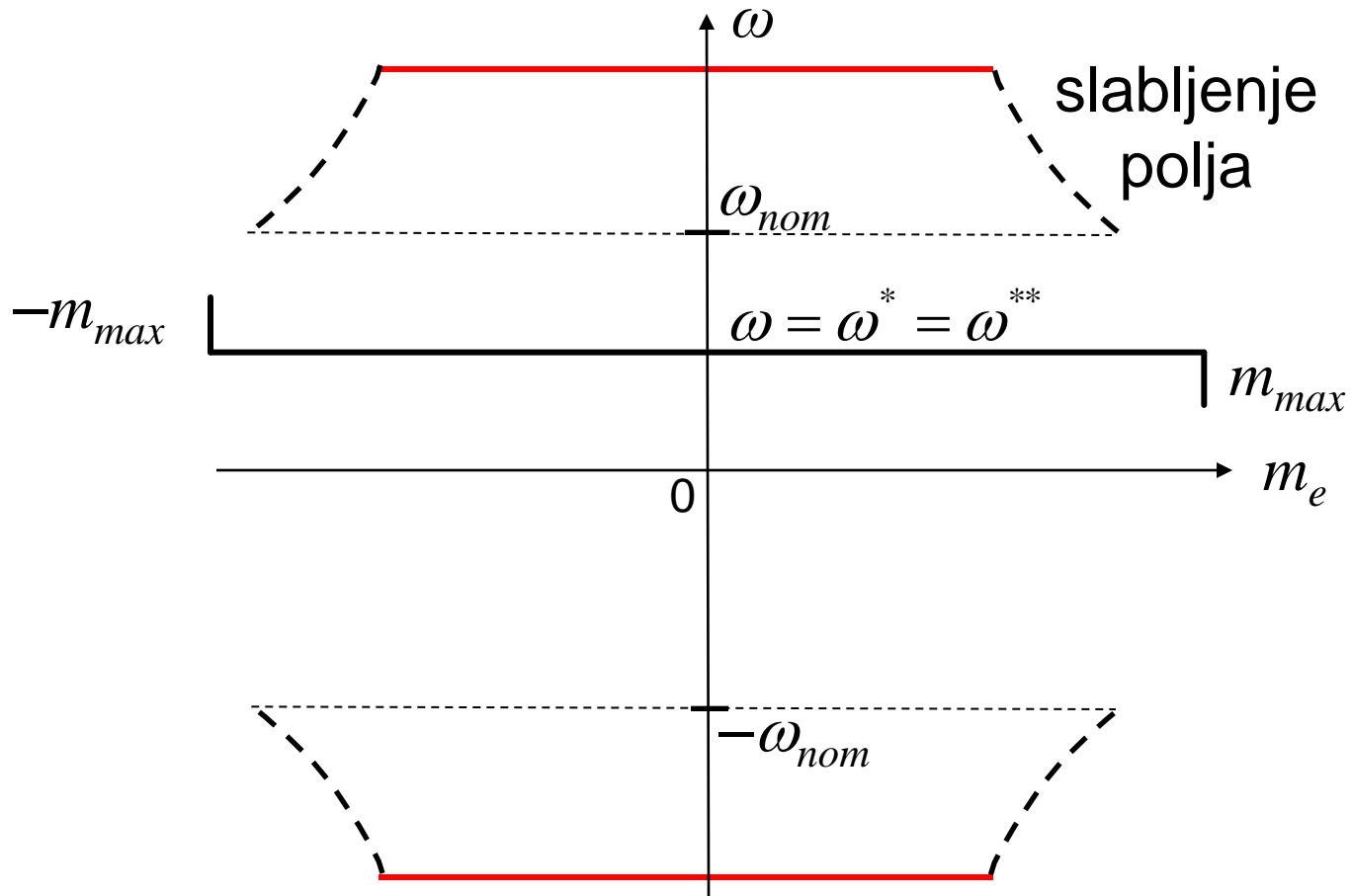


# Uticaj limita momenta na odziv regulatora brzine

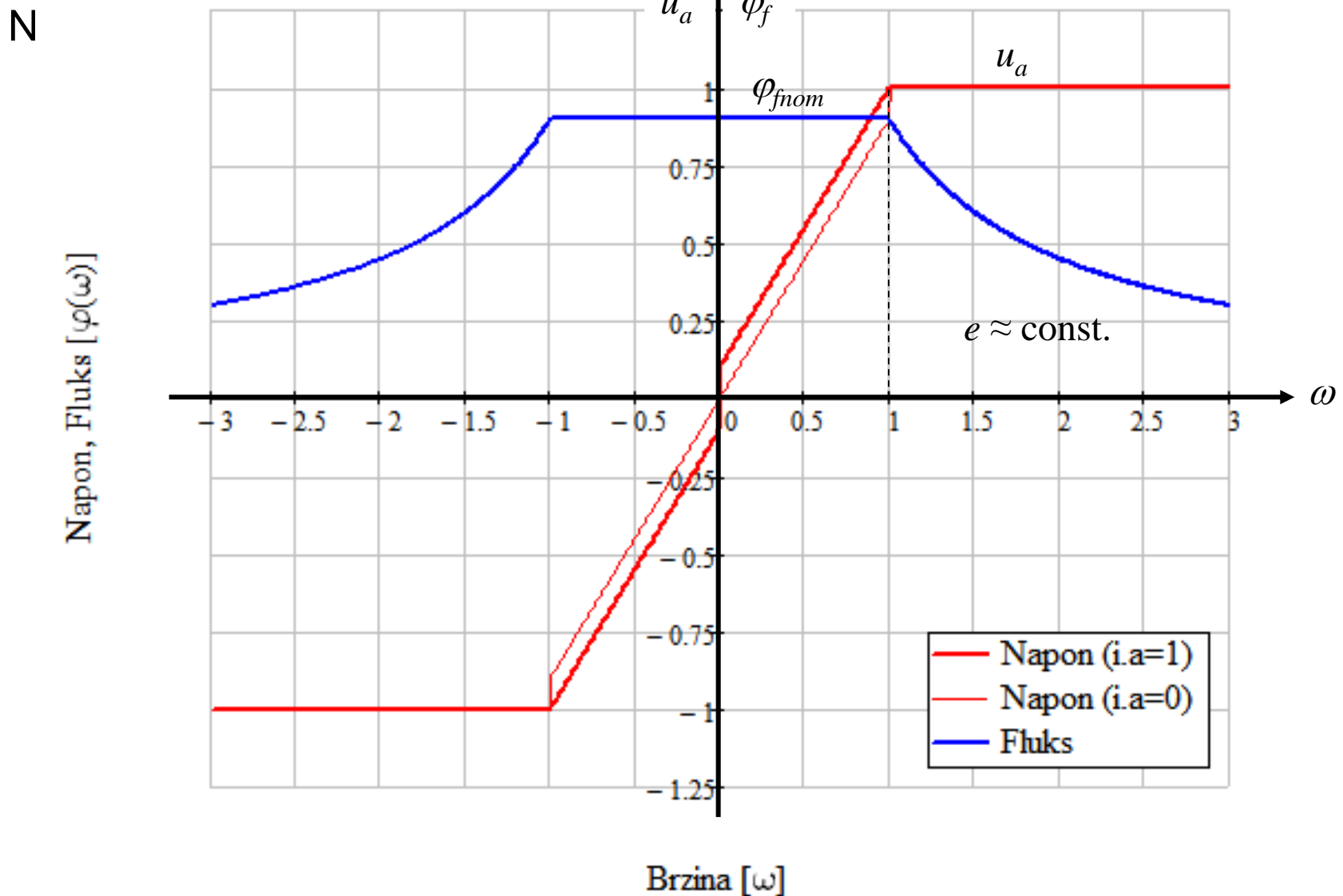
Povećano je željeno ubrzanje u bloku soft starta. Zbog ograničenja struje, ne dostiže se zadata brzina u toku soft-starta.



# Staticka karakteristika regulisanog pogona



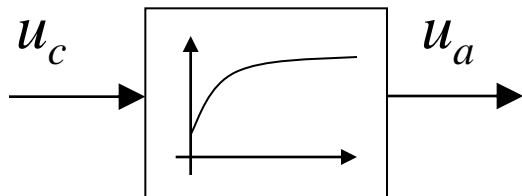
# KOMBINOVANO UPRAVLJANJE (PROMENOM NAPONA INDUKTA I PREKO POBUDE)



# Aktuatori

- Tiristorski ispravljači  
(mosne sprege, mrežna komutacija)
- Više-kvadrantni rad
- Generator jednosmerne struje (Vard Leonard)
- Čoperi

Uprošćeni blok dijagram  
aktuatora



Uprošćena prenosna funkcija  
aktuatora

$$\frac{U_a}{U_c}(p) = \frac{K_a}{1 + p \cdot T_{ak}}$$

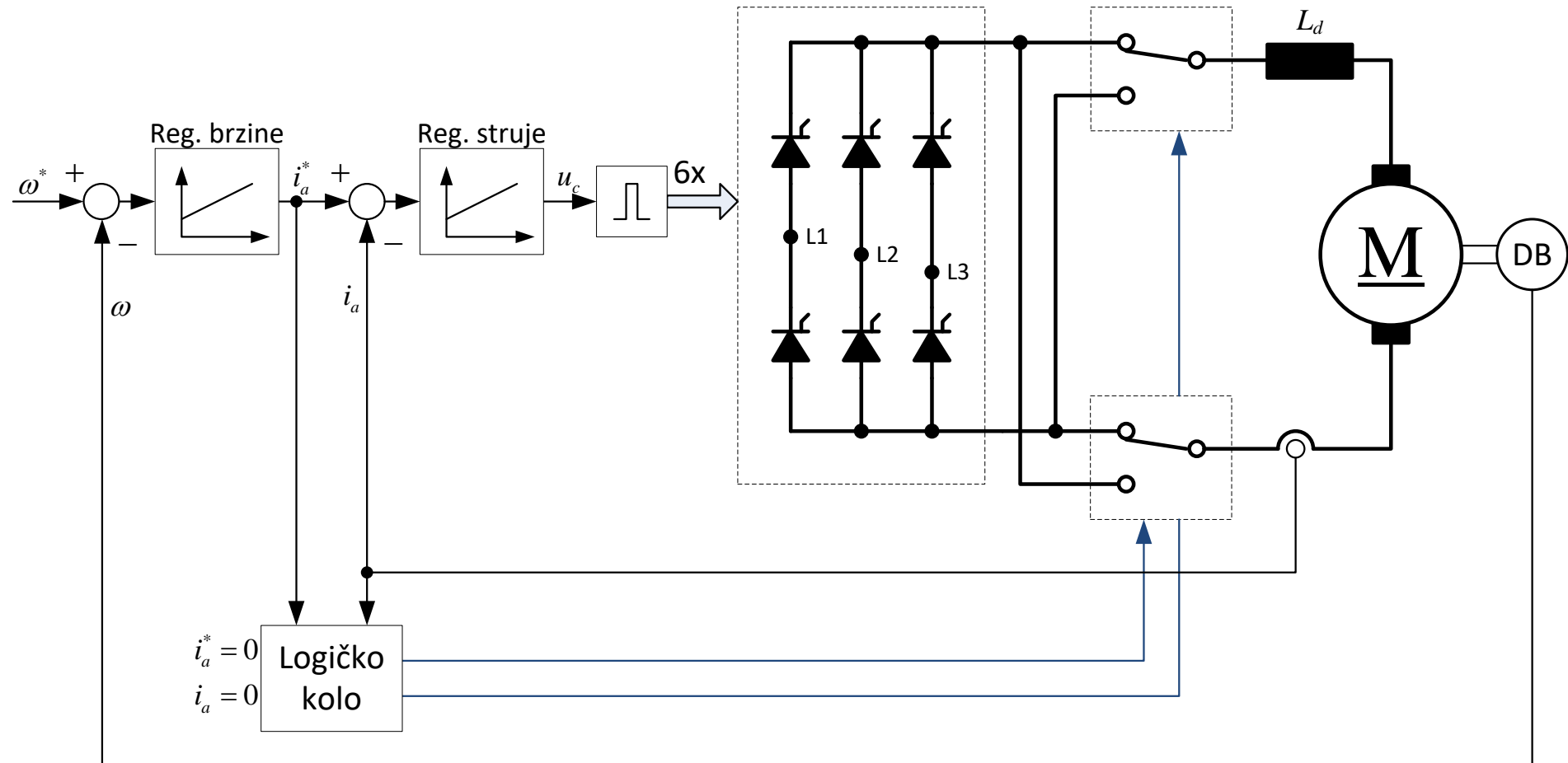
$T_{ak} = ?$  zavisi od vrste aktuatora

# Četvoro- kvadratni rad sa preklopnikom

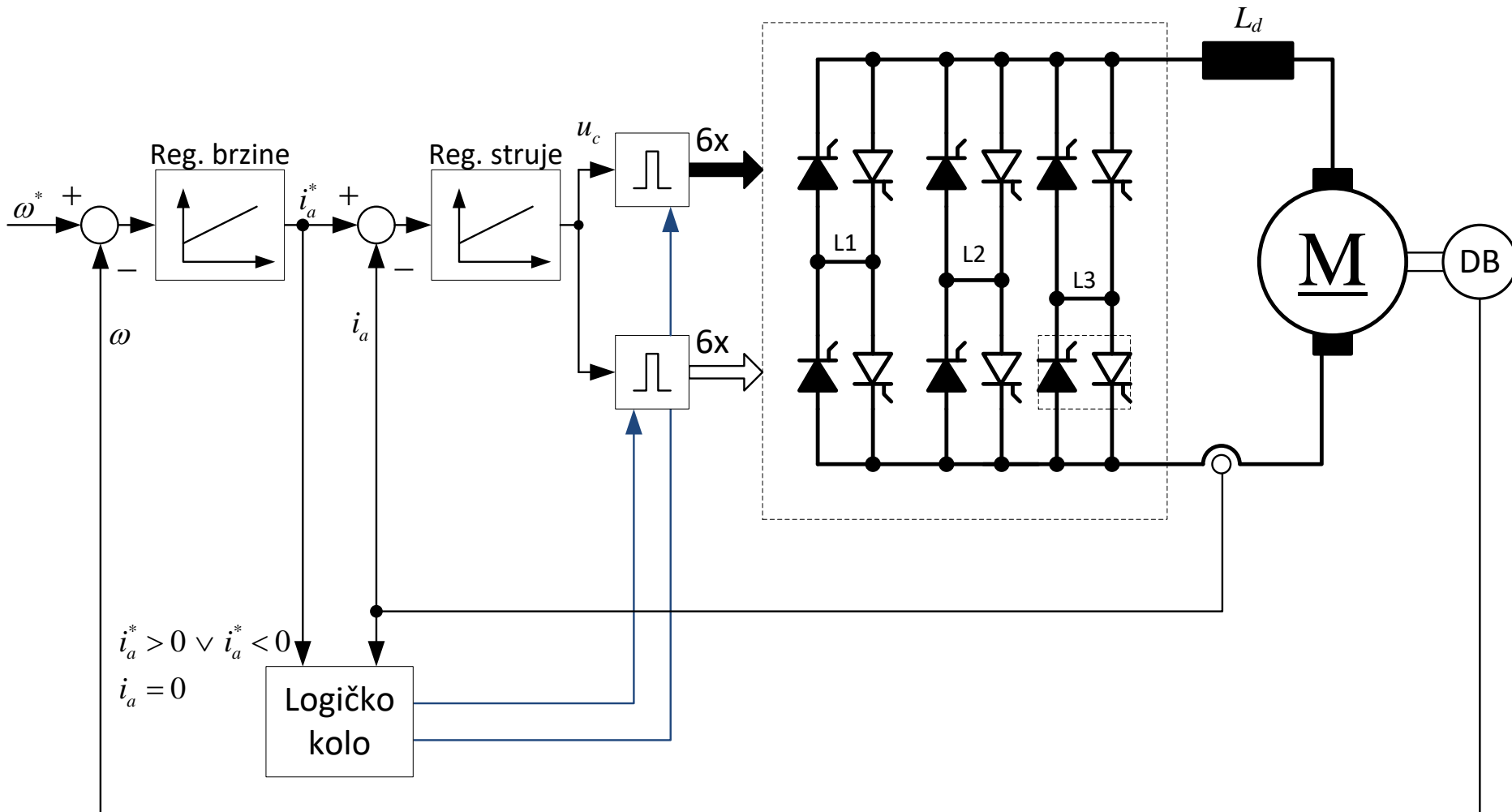
Regulacija brzine za male brzine reversa!

Logičko kolo:

- promena stanja prekidača samo kada je  $i_a = 0$
- položaj prekidača u funkciji od znaka  $i_a^*$

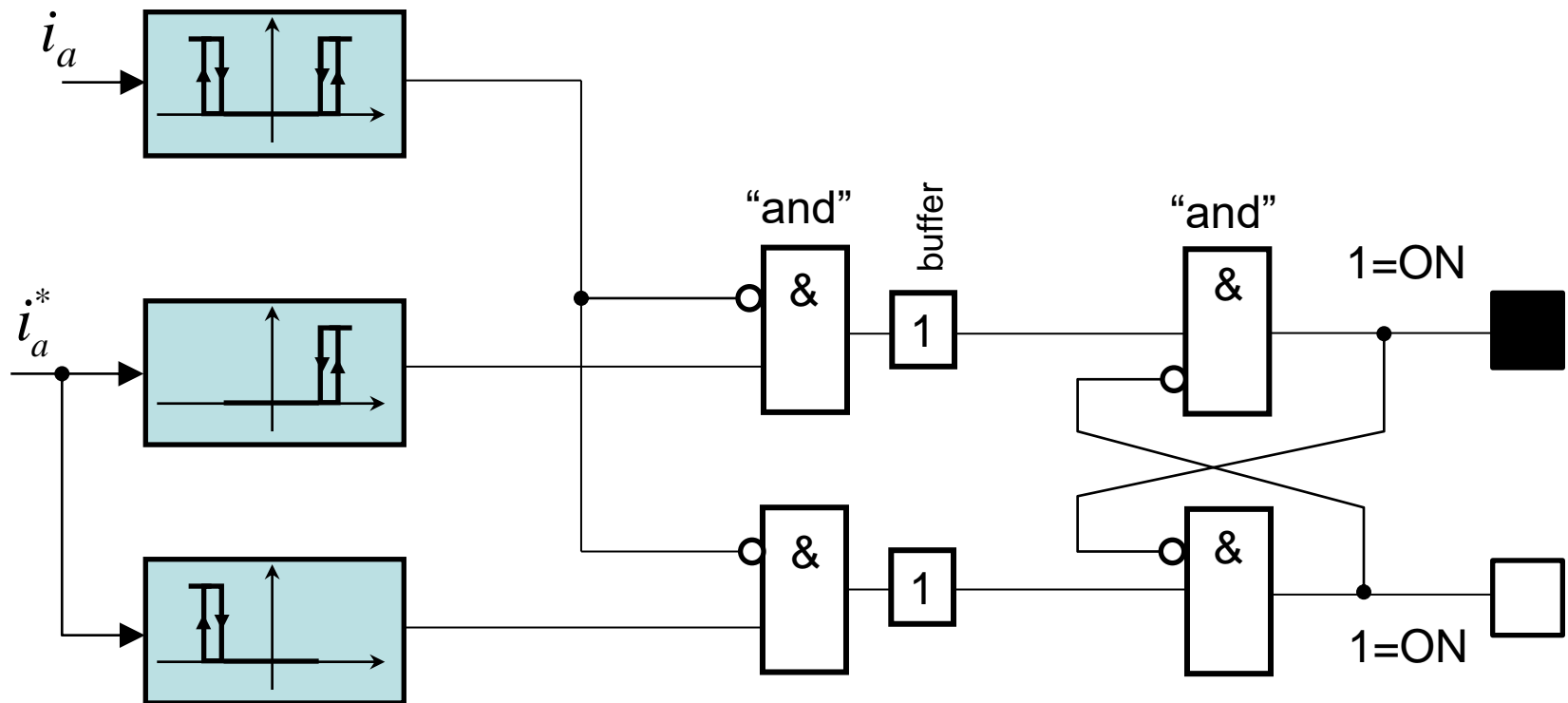


# Četvoro-kvadratni rad sa dva anti-paralelna mosta (razdeljeno upravljanje)



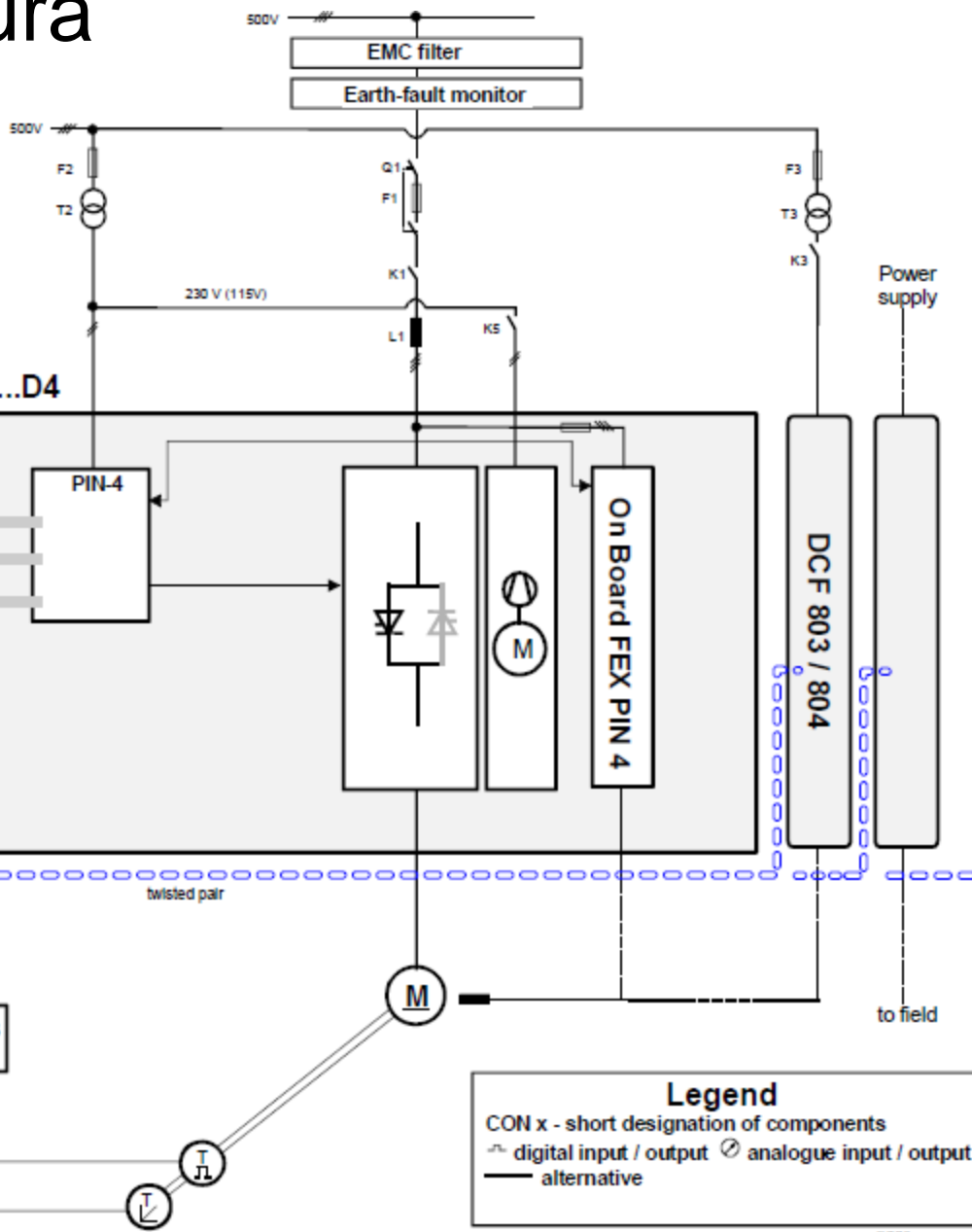
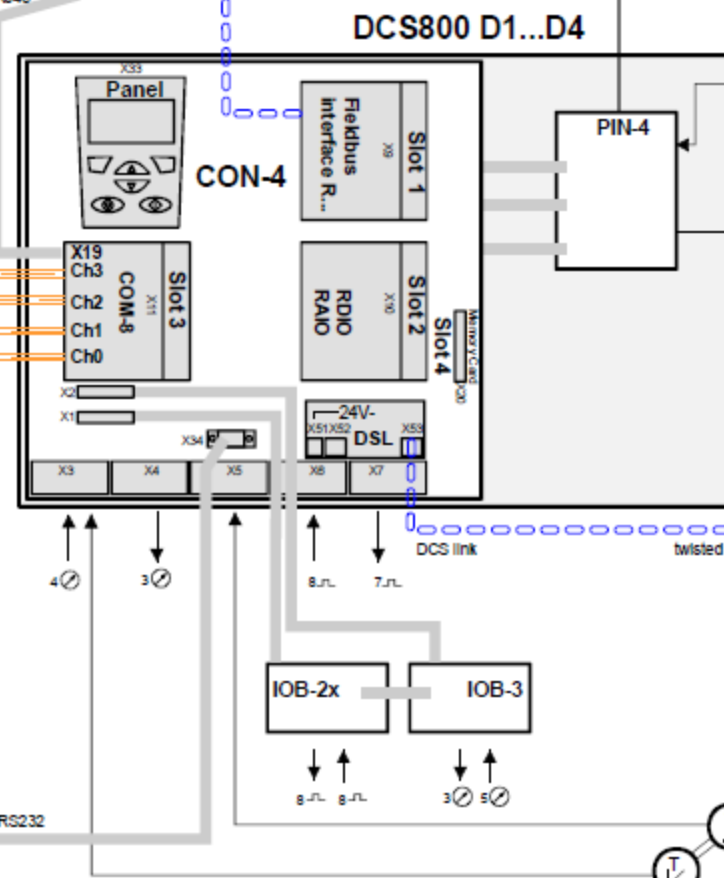
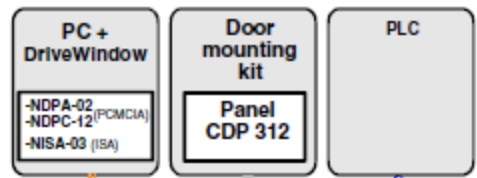
# Logičko kolo

Logičko kolo deluje na blokiranje impulsa mosta koji ne treba da vodi.



Pogoni sa razdeljenim upravljanjem mogu da ostvare bržu promenu znaka struje nego pogoni sa preklopnikom.

# DCS 800 struktura



**Legend**

CON x - short designation of components  
 ↗ digital input / output   ↘ analogue input / output  
 — alternative

**Armature circuit converter DCS800 D1...D4**  
 400 V and 500 V units with Onboard field exciter  
 600 V units are always without Onboard field exciter

# SIMOREG struktura (energetski deo)

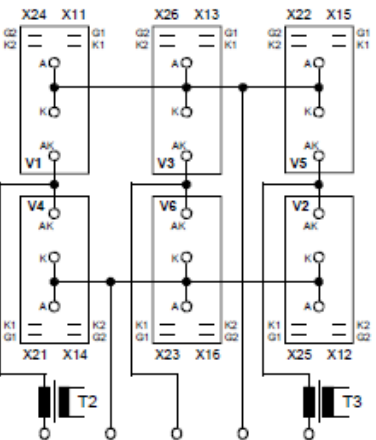
a = copper busbar 20 x 3  
 b = copper busbar 20 x 5  
 c = Raychem 44A0311-20-9  
 All cables are Betatherm 145 1mm<sup>2</sup> unless otherwise designated

G (Gate) leads => yellow  
 K (cathode) leads => red

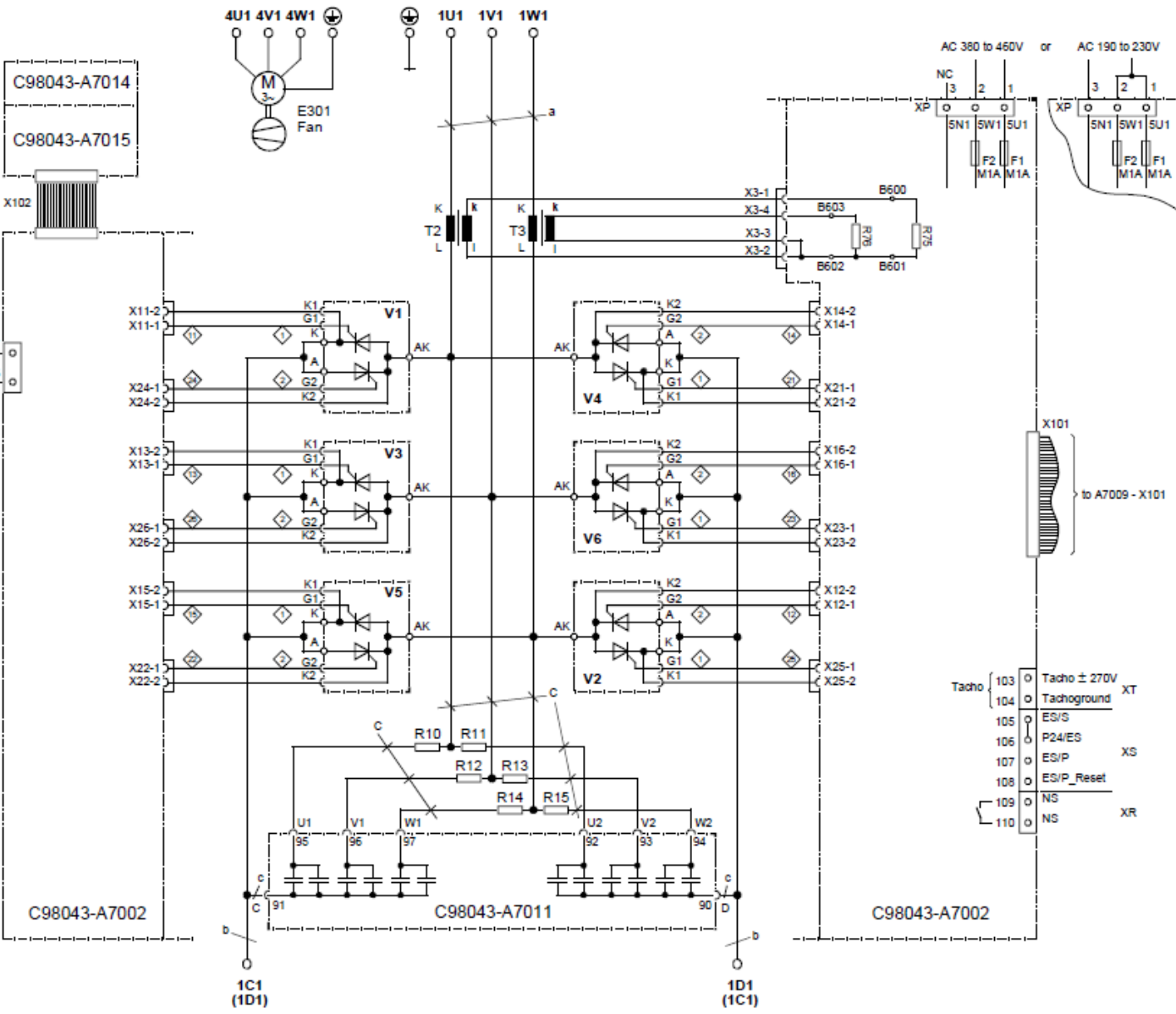
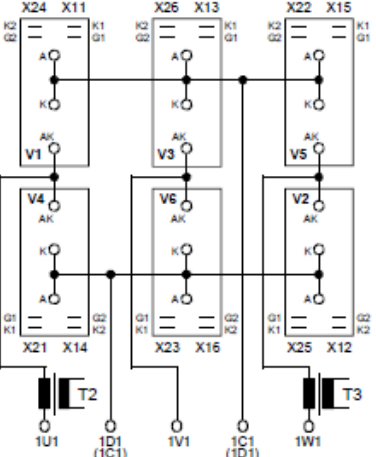
◇ Cables are designated as specified at ends

## Arrangement of thyristor modules

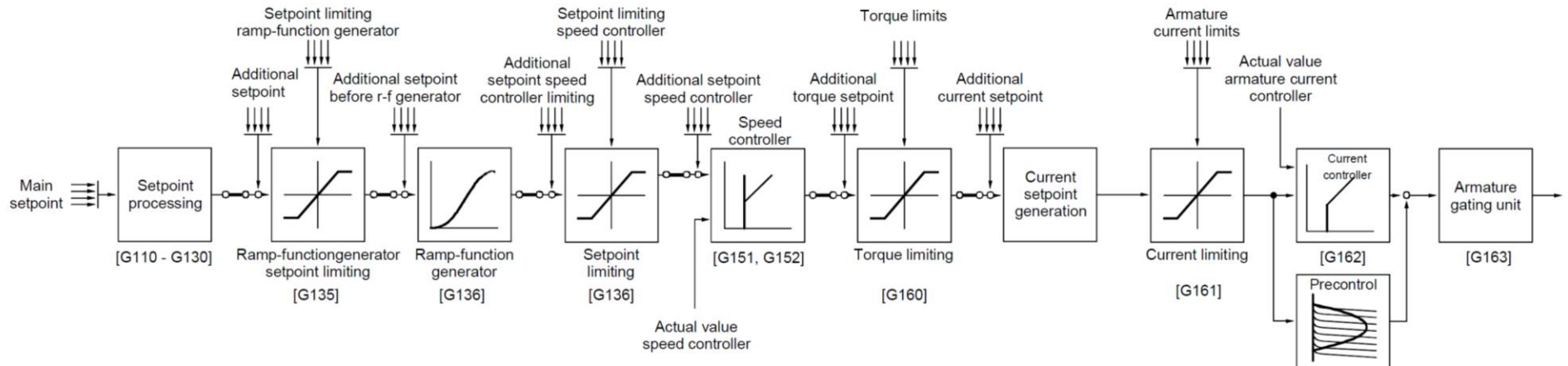
Converters: 400V / 400A



Converters: 575 / 400A



# SIMOREG blok dijagram

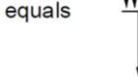


Legend :

Additional setpoint before r-f generator

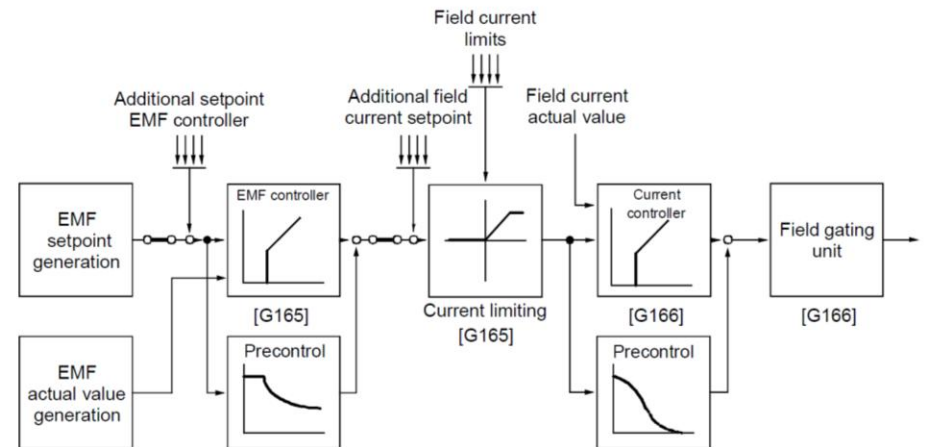


Additional setpoint before r-f generator  
from abcd

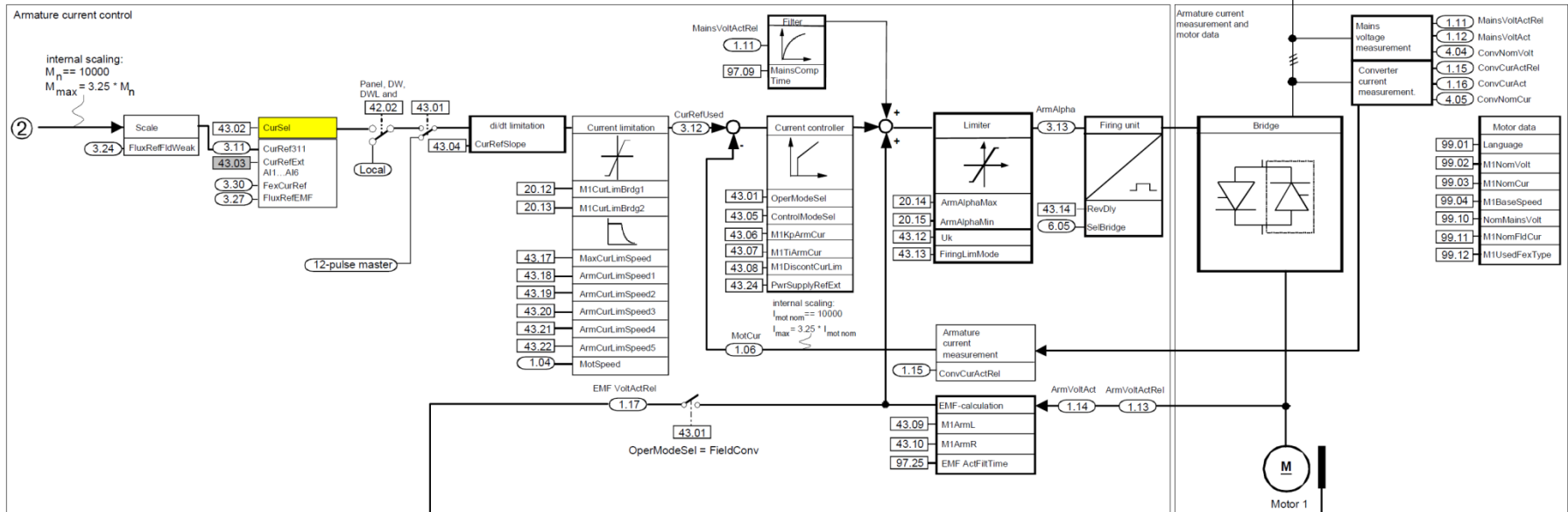


- equals
- a ... Analog input
  - b ... Serial interface
  - c ... Basic converter function
  - d ... Supplementary board

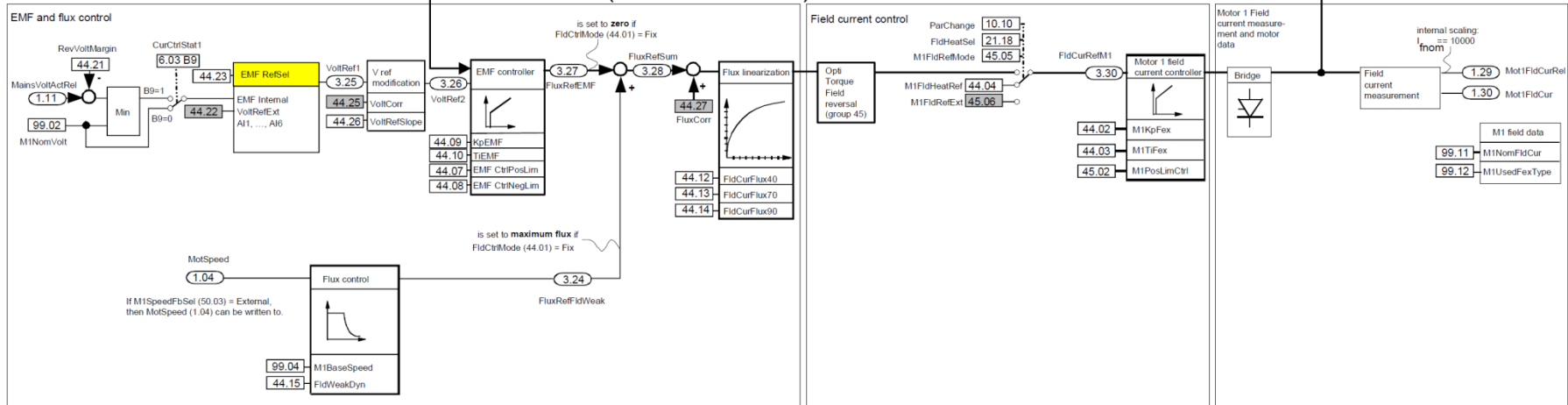
= Parameterizable connection /disconnection points



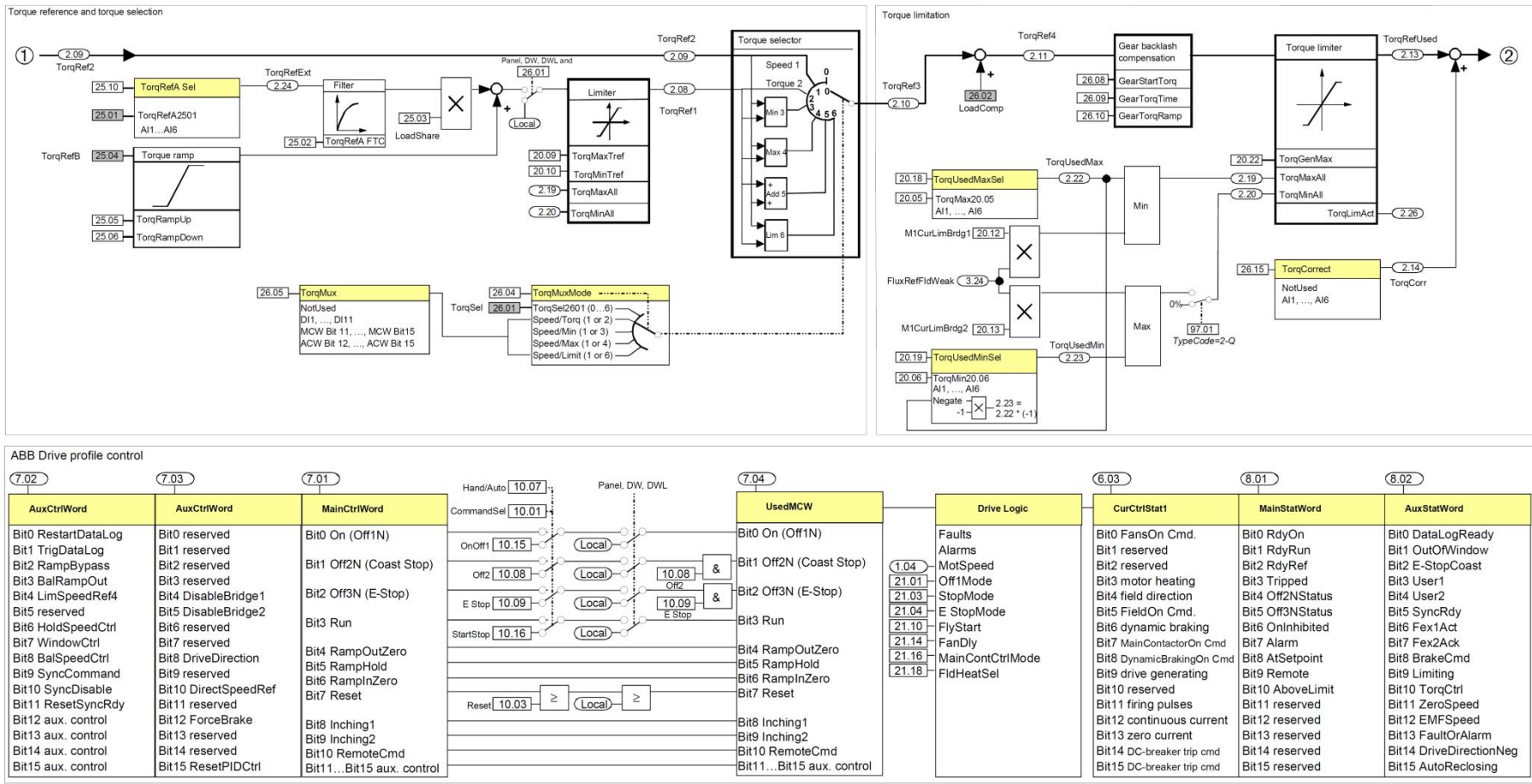
# DCS 800 Blok dijagram – regulacija struje



## FIELD CURRENT CONTROL (one field exciter)

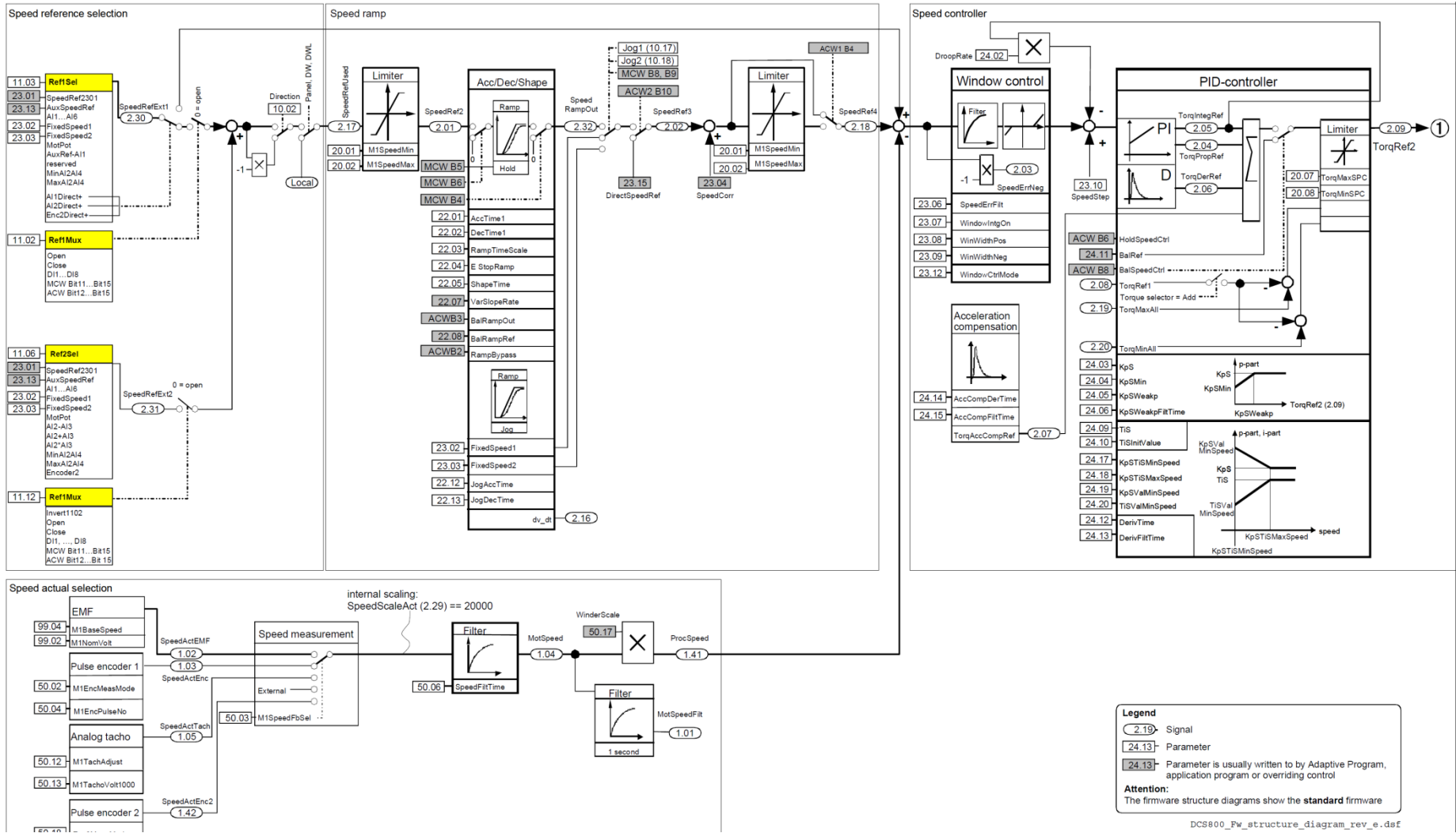


# DCS 800 Blok dijagram – upravljanje momentom



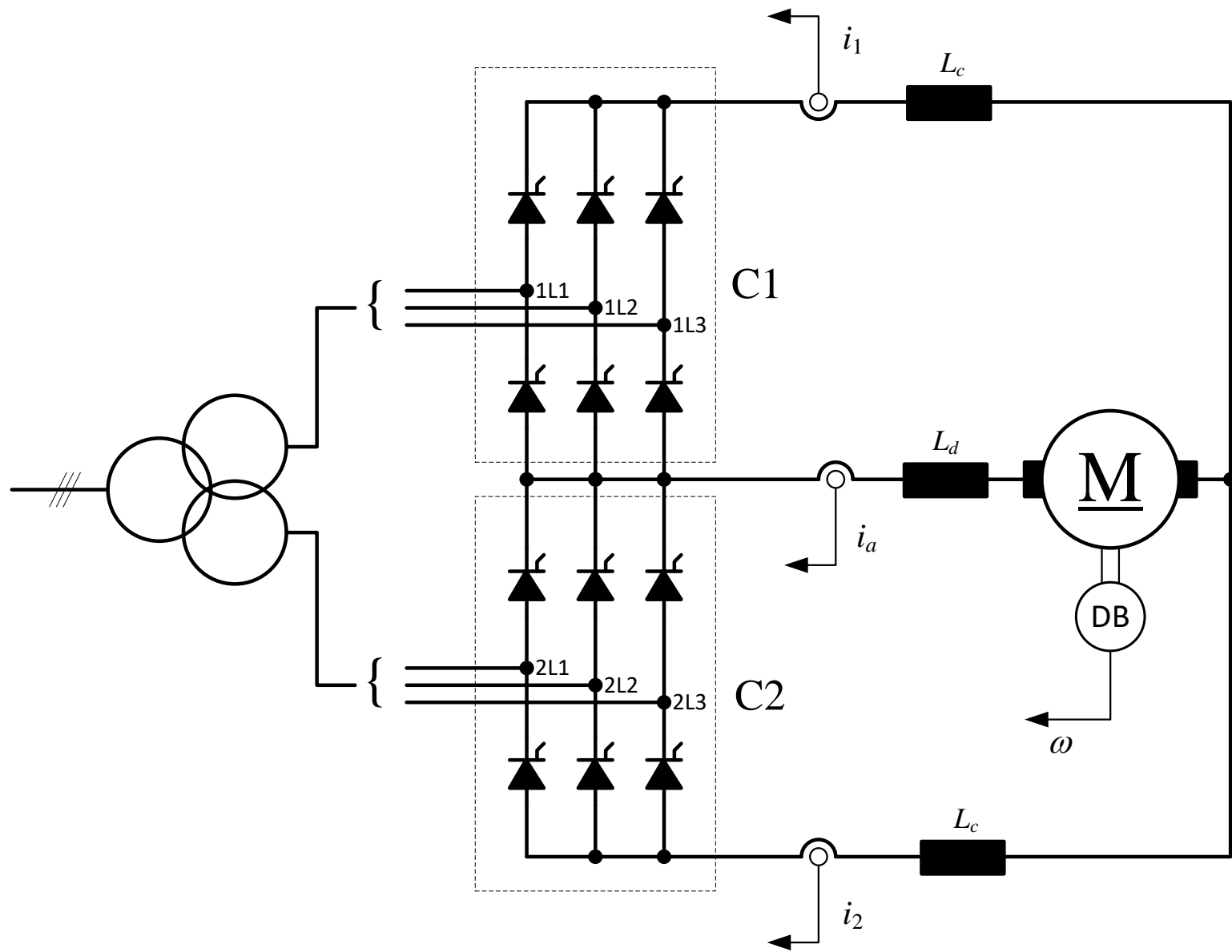
DCS800\_Fw\_structure\_diagram\_rev\_e.def

# DCS 800 Blok dijagram – regulacija brzine



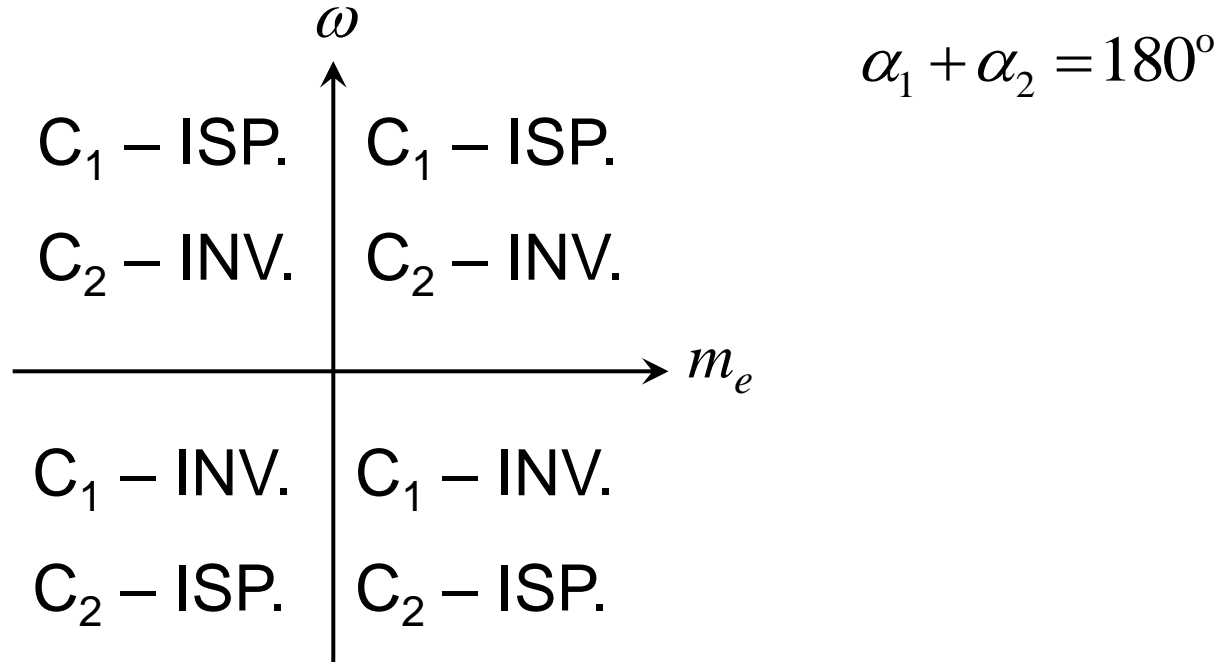
DCS800\_Fw\_structure\_diagram\_rev\_e.dsf

# Četvoro-kvadrantni rad sa kružnom strujom



# Četvoro-kvadrantni rad sa kružnom strujom (saglasno upravljanje)

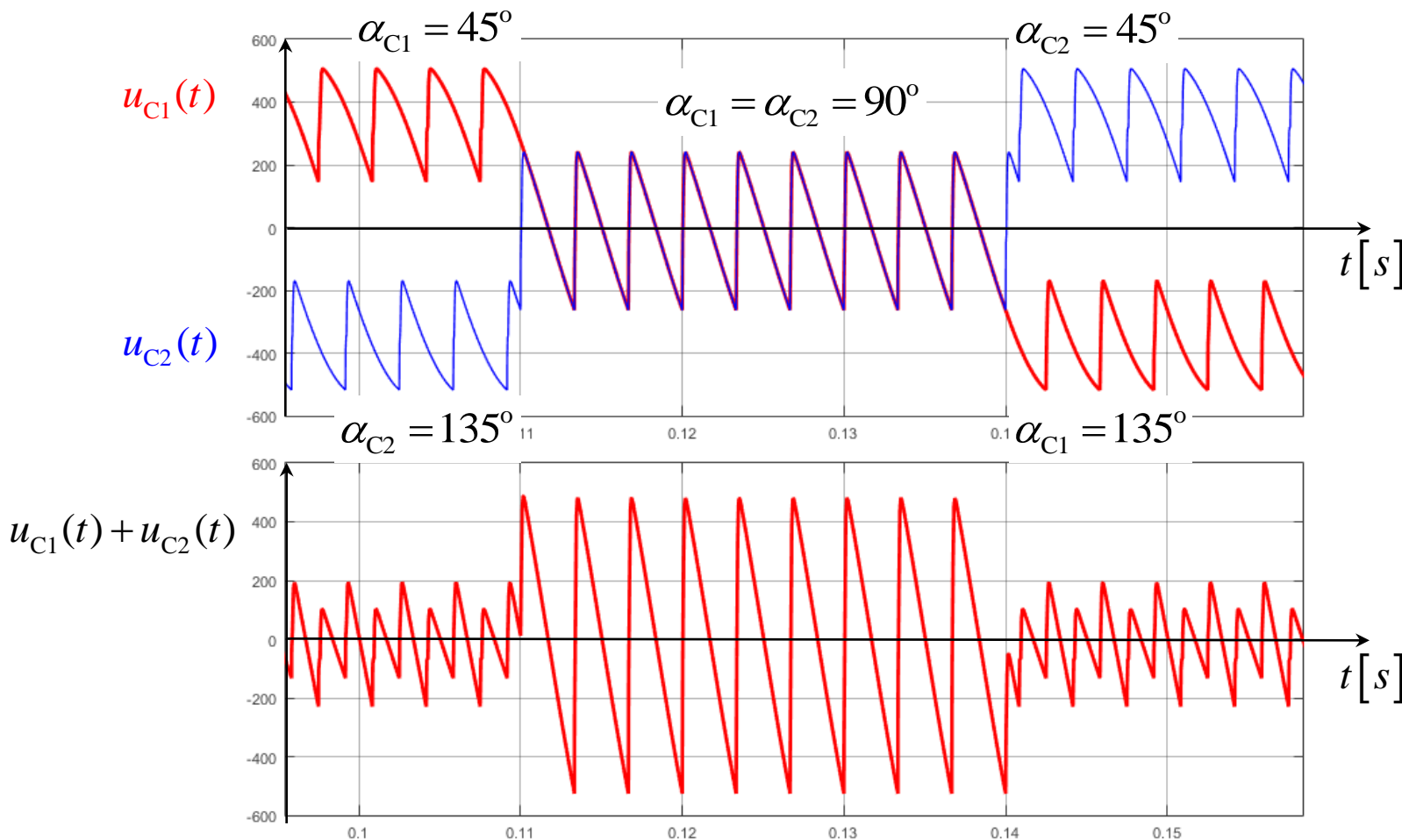
Koristi se za ostvarivanje brzih reversa  
(promene znaka) momenta.



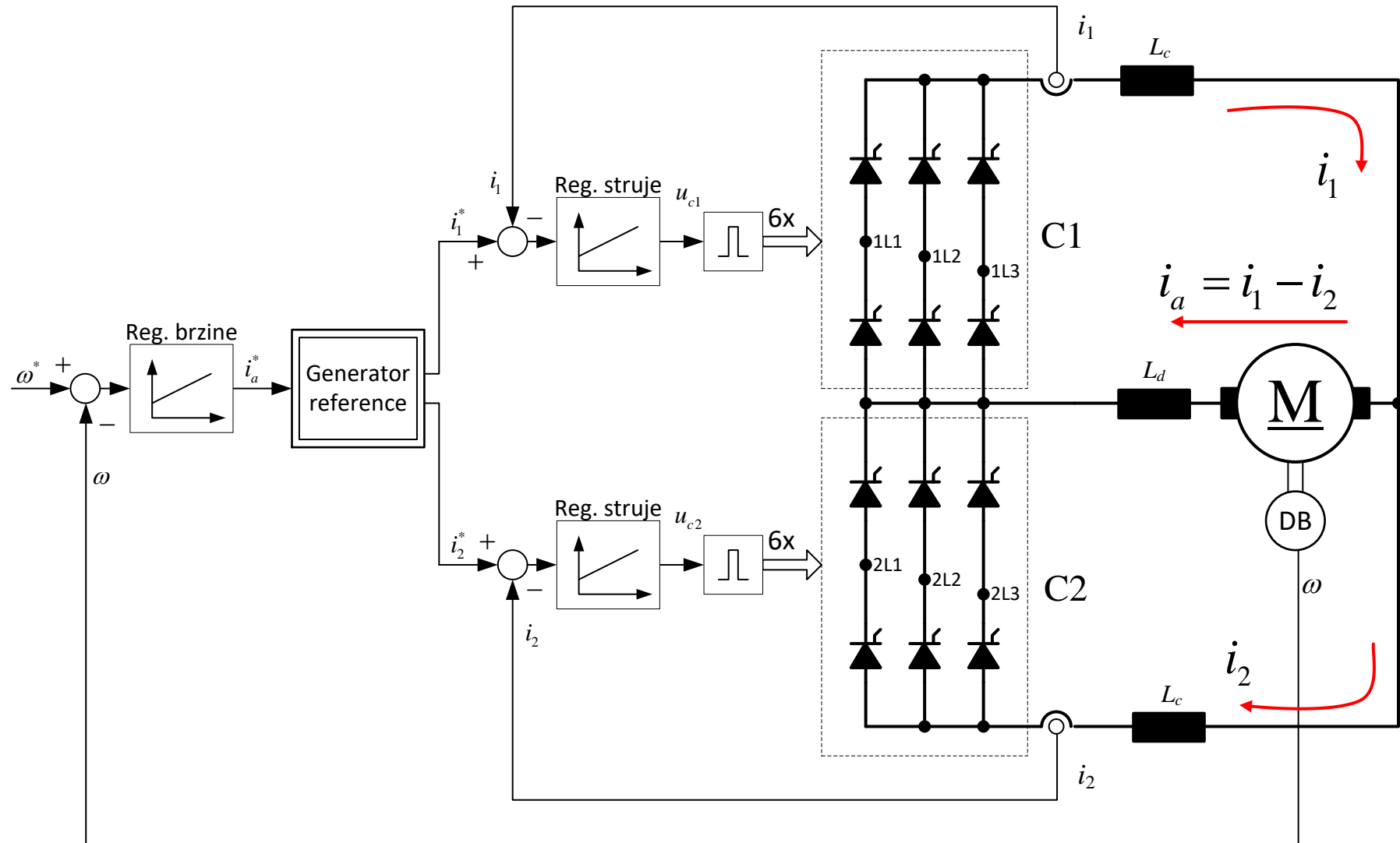
# Dijagram trenutnih vrednosti napona

$|U_{C1}(\alpha_1)| = |U_{C2}(\alpha_2)| \quad u_{C1}(t) \neq u_{C2}(t) \leftarrow \text{kružna struja}$

samo za  $\alpha_{C1} = \alpha_{C2} = 90^\circ \Rightarrow u_{C1}(t) = u_{C2}(t)$



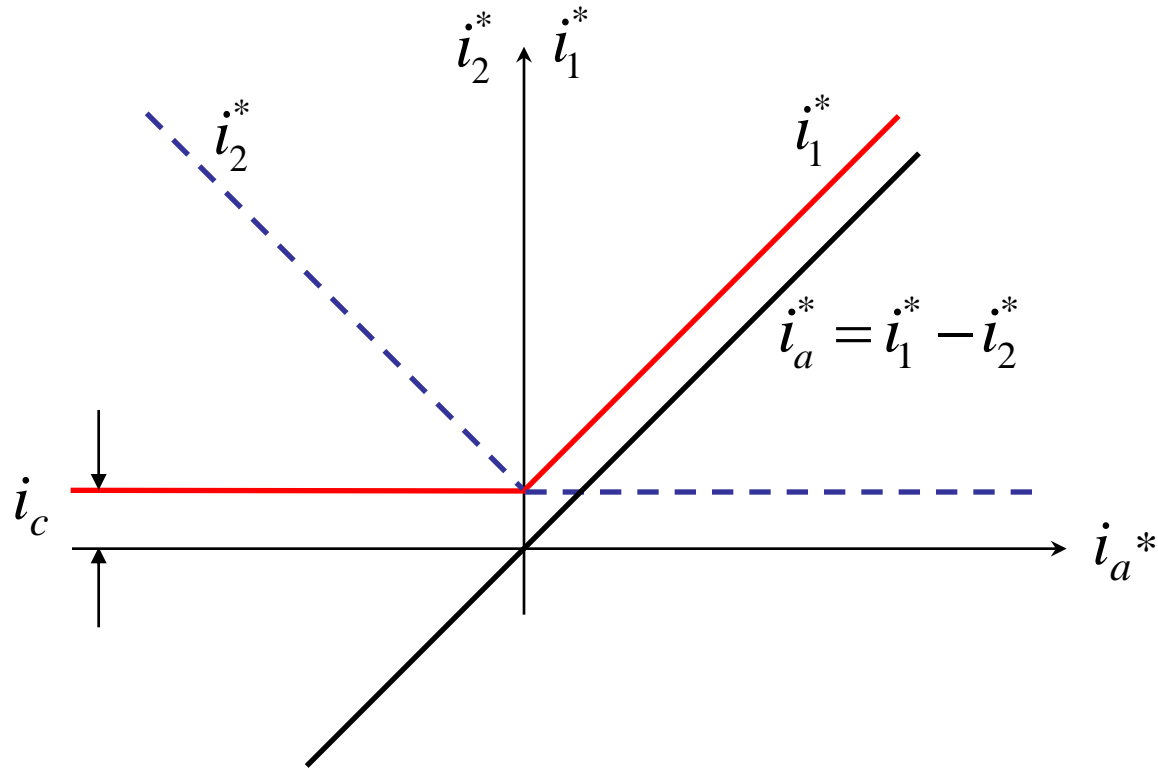
# Kontrola kružne struje



# Generator referentnih struja $i_1^*$ i $i_2^*$

$i_c$  – cirkulaciona (kružna) struja

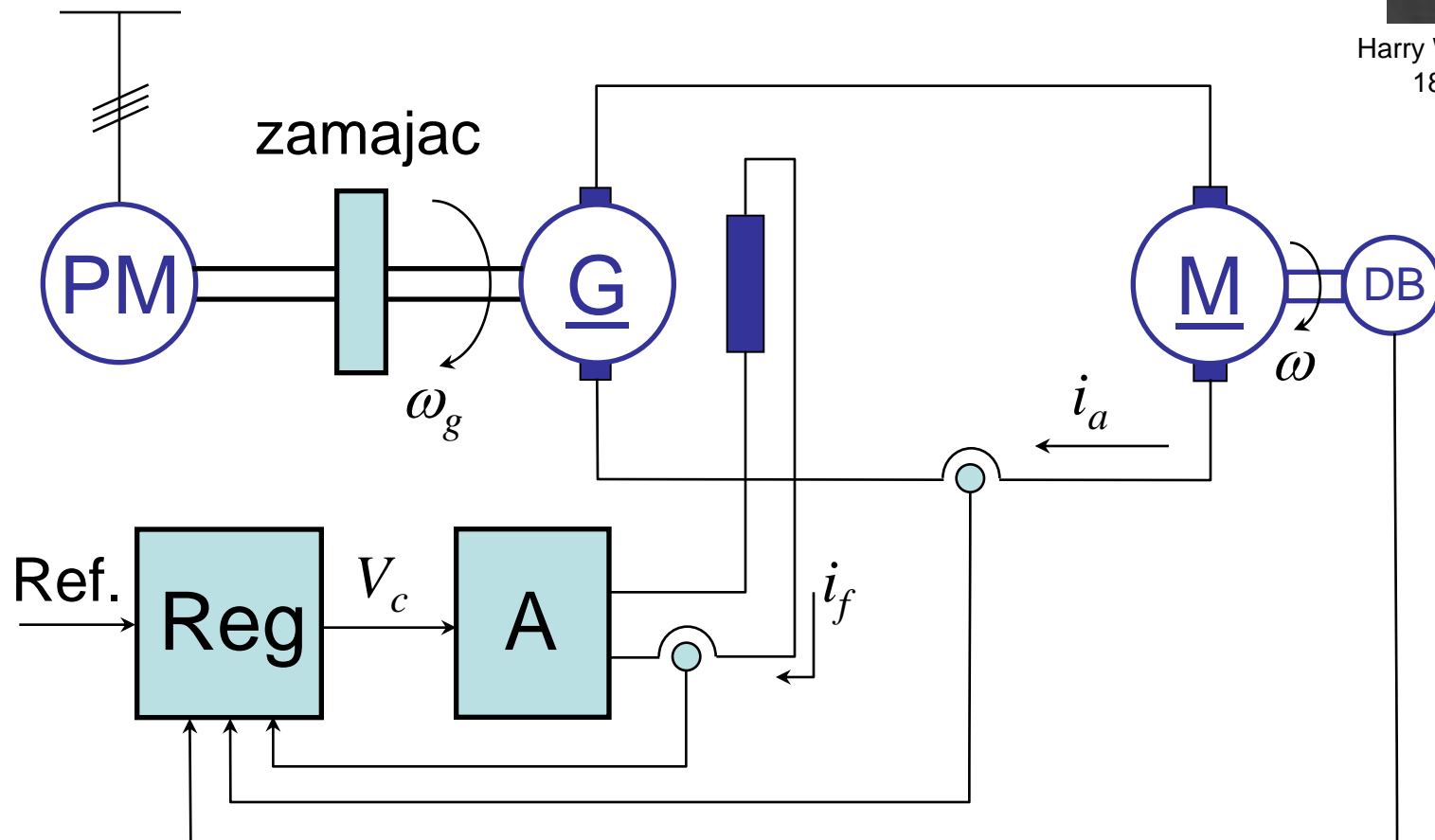
Po vrednosti, kružna struja bi trebalo da bude minimalna, ali da se tiristori odgovarajućeg mosta održavaju u provodnom stanju.



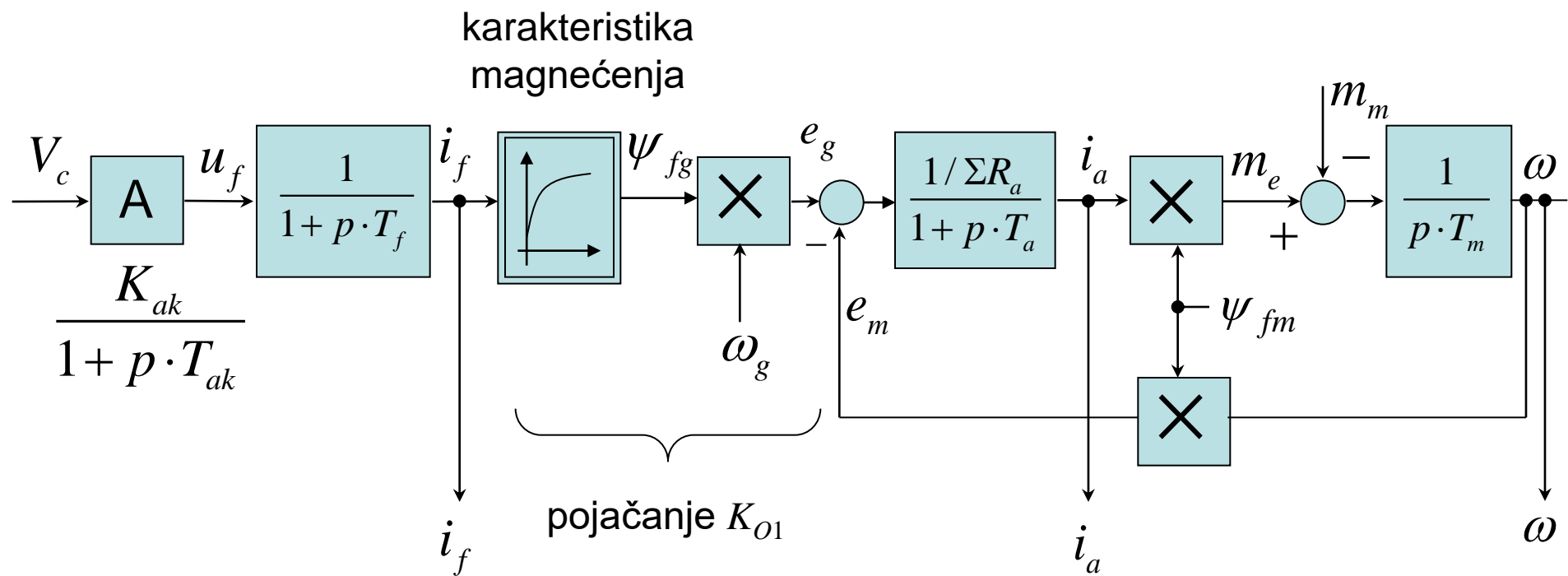
# Vard Leonardova grupa



Harry Ward Leonard  
1861-1915.



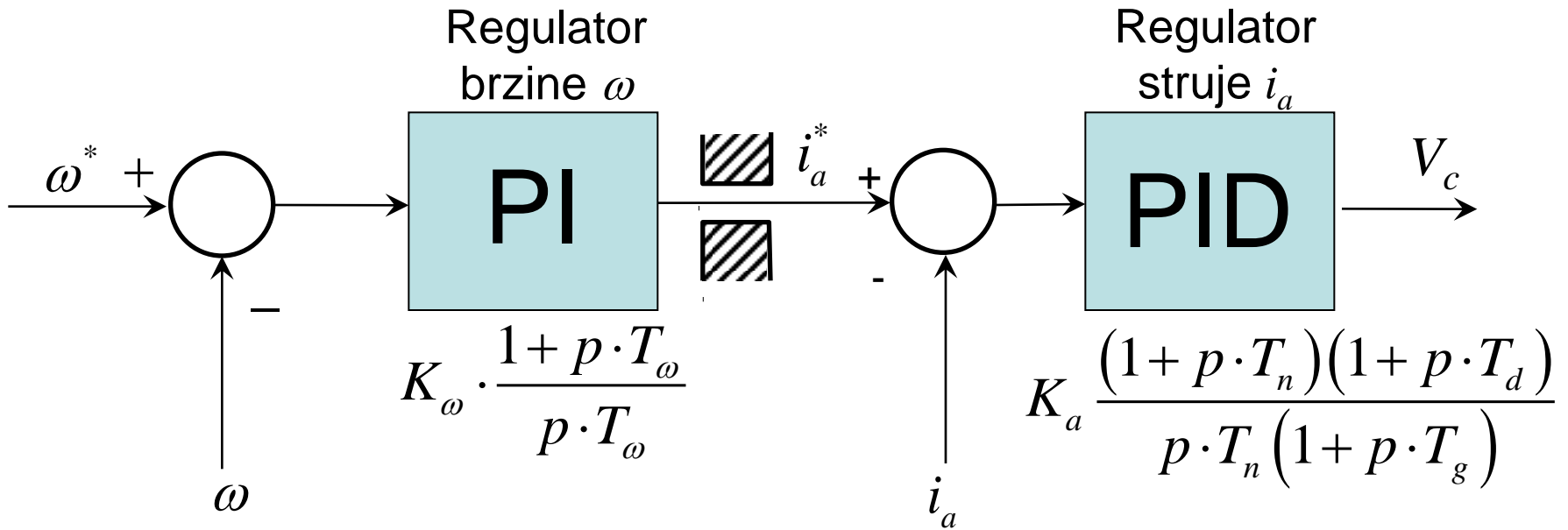
# Vard Leonardova grupa (blok dijagram)



$$T_a = \frac{2 \cdot L_a}{2 \cdot R_a} \quad T_f > T_a > T_{ak}$$

# Vard Leonardova grupa

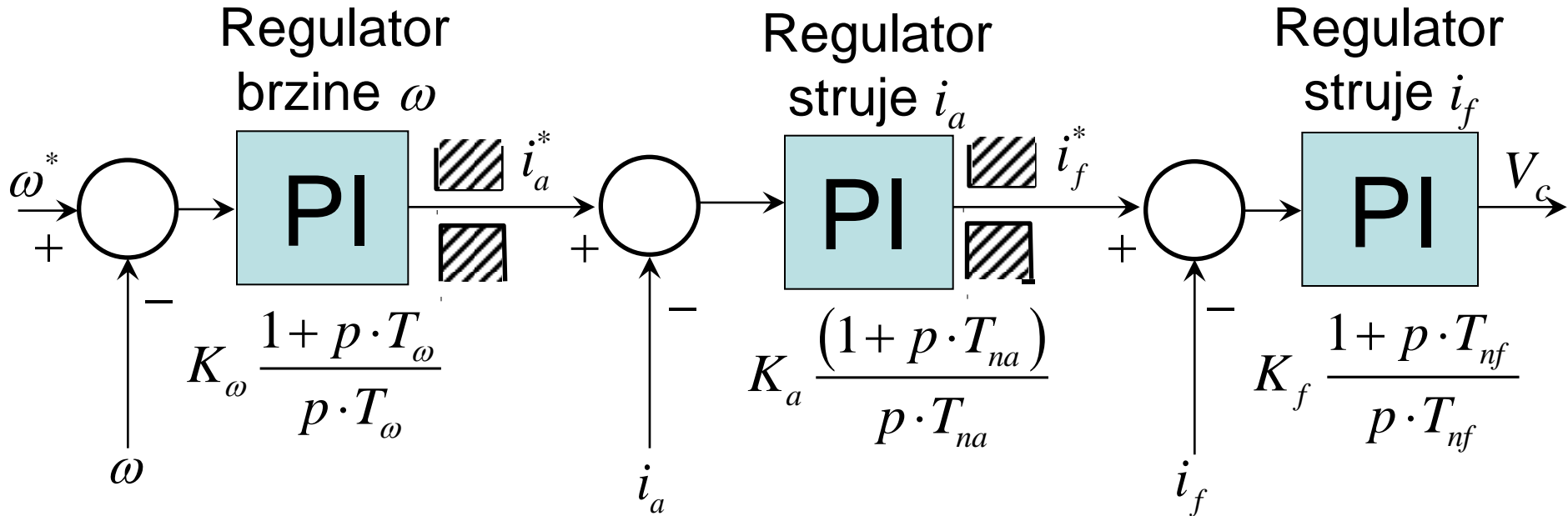
## Regulator: PI + PID



**REG  $i_a$ :**  $(T_n = T_f \quad T_d = T_a) \Rightarrow |F(j\omega)|$  drugog reda.

**REG  $\omega$ :**  $\Rightarrow |F(j\omega)|$  trećeg reda.

# Vard Leonardova grupa regulator (PI + PI + PI)



REG  $i_f$ :  $(T_{nf} = T_f) \Rightarrow |F(j\omega)|$  drugog reda.

REG  $i_a$ :  $(T_{na} = T_a) \Rightarrow |F(j\omega)|$  drugog reda.

REG  $\omega$ :  $\Rightarrow |F(j\omega)|$  trećeg reda.

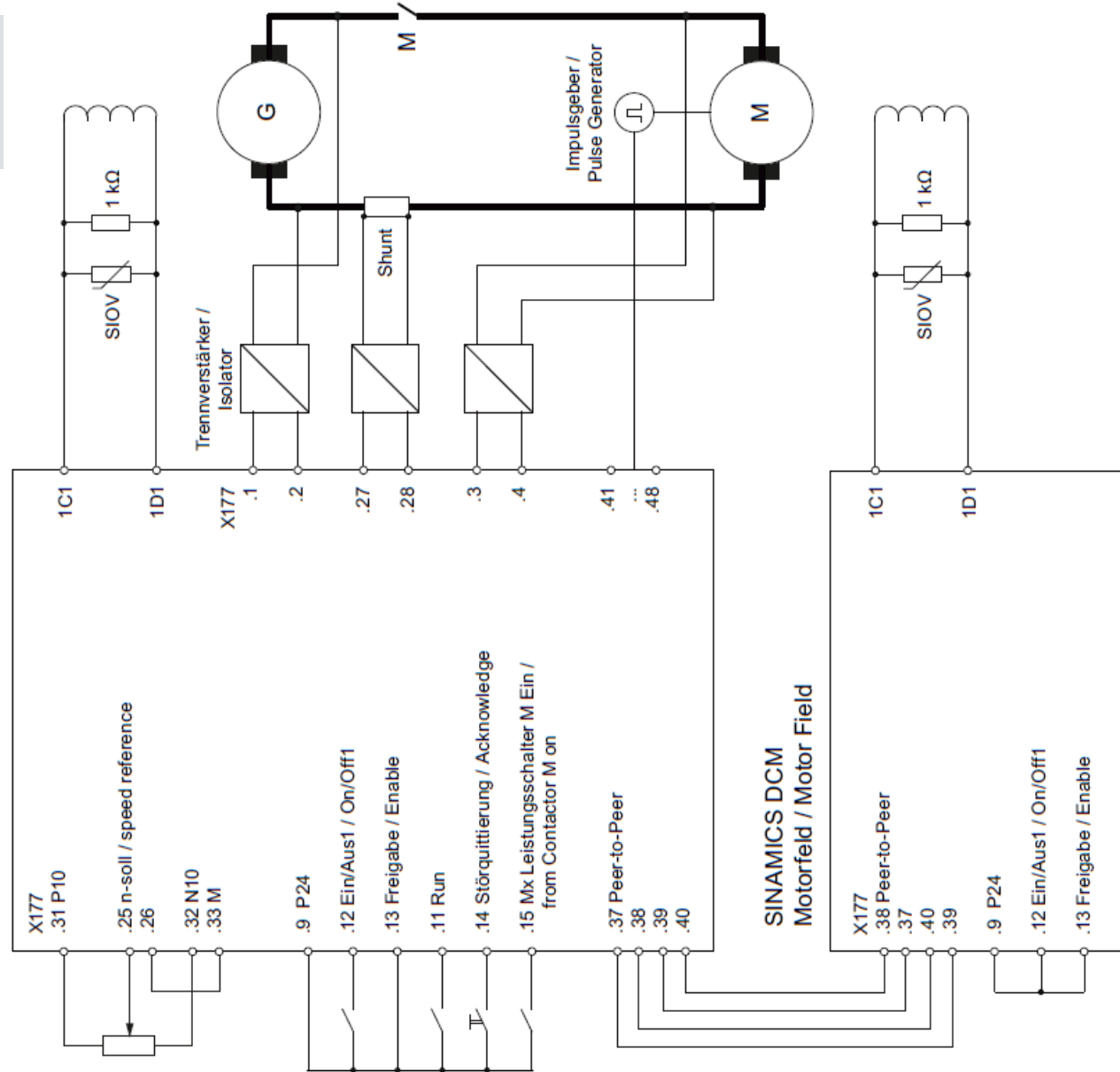
# Vard Leonardova grupa

Closed-loop control application for a Ward-Leonard block

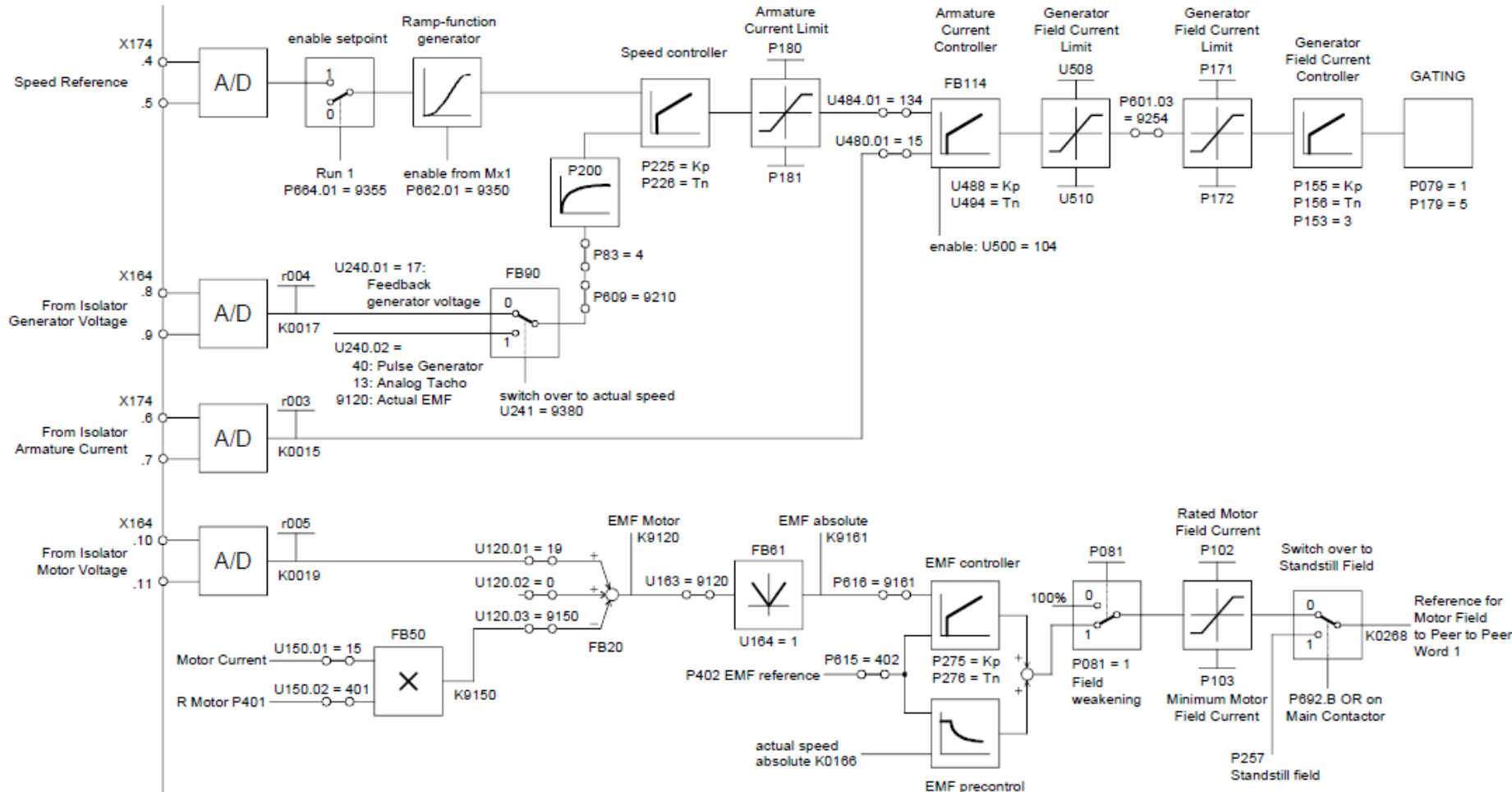
Edition 02 - 06/2013



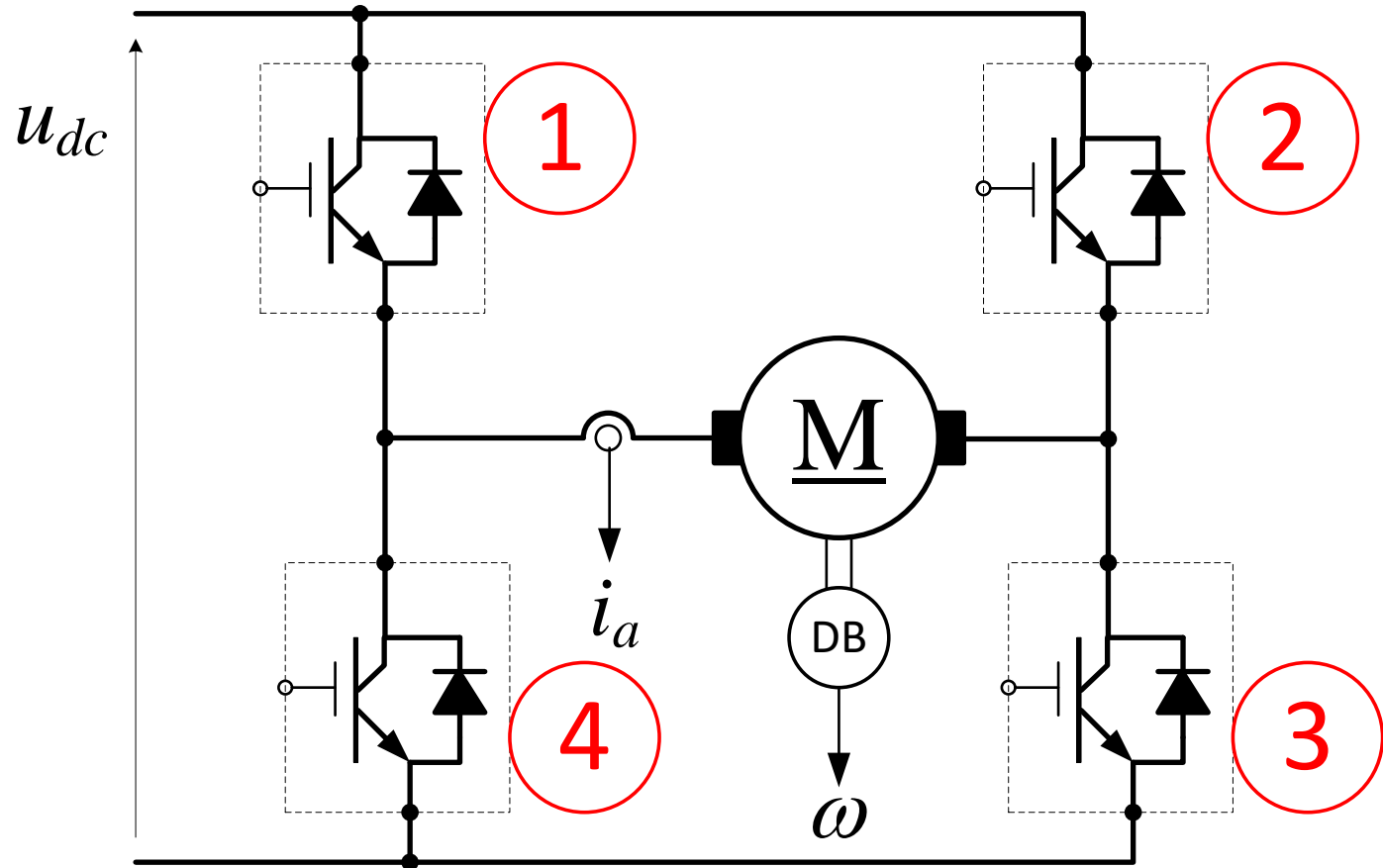
SINAMICS DCM  
Generatorfeld / Generator Field



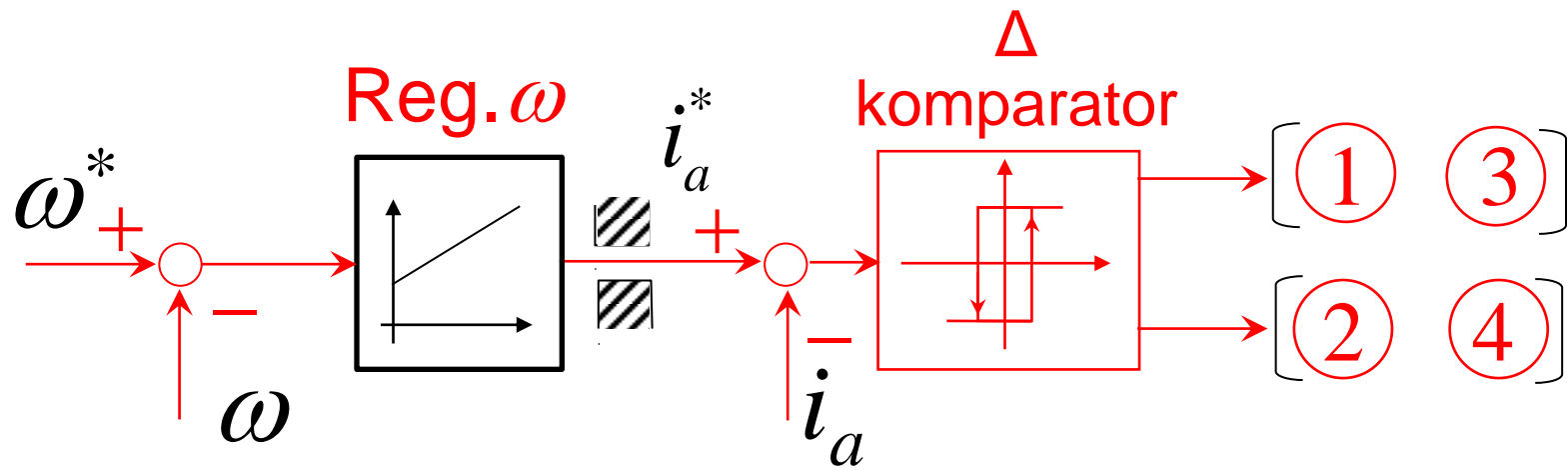
# Vard Leonardova grupa



# Četvoro-kvadrantni čoper

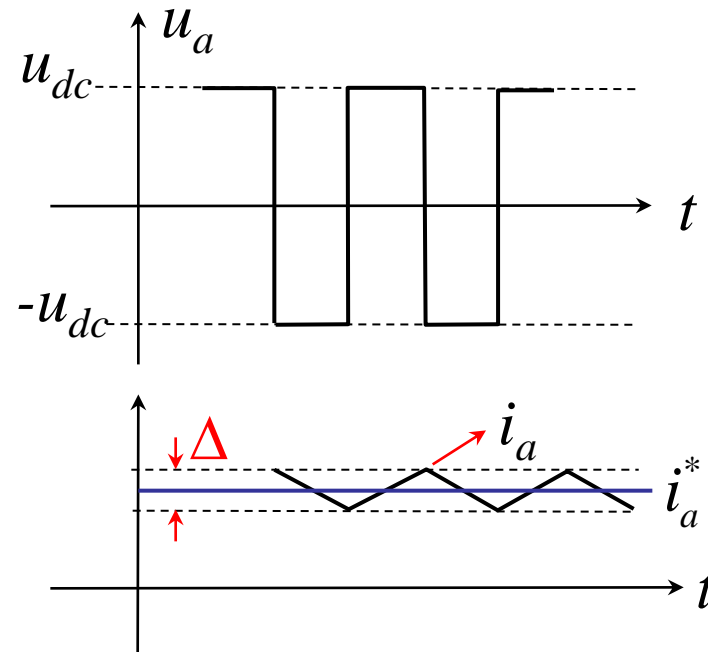


# Struktura regulatora

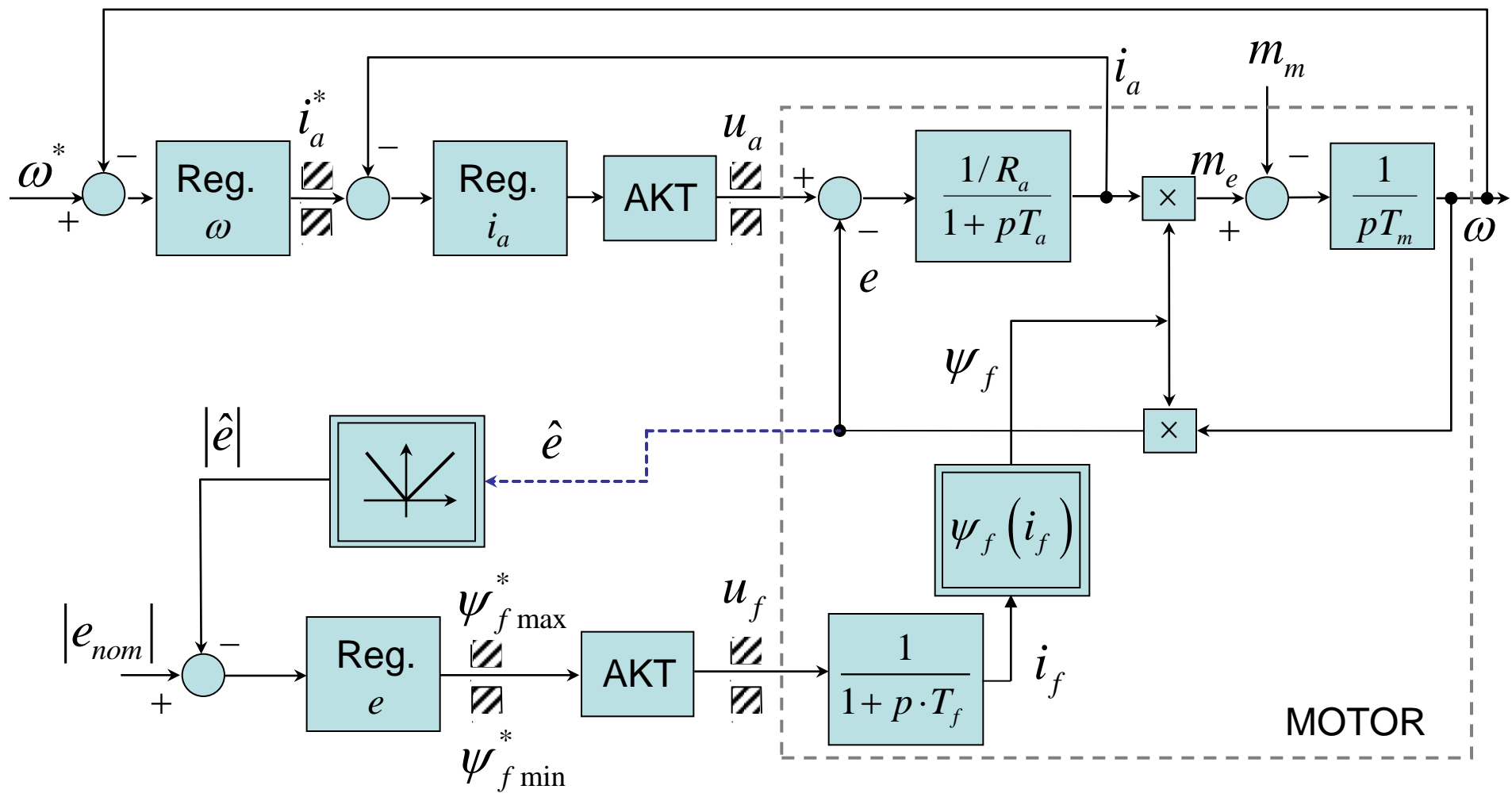


Trenutne vrednosti  
napona

i  
struje motora

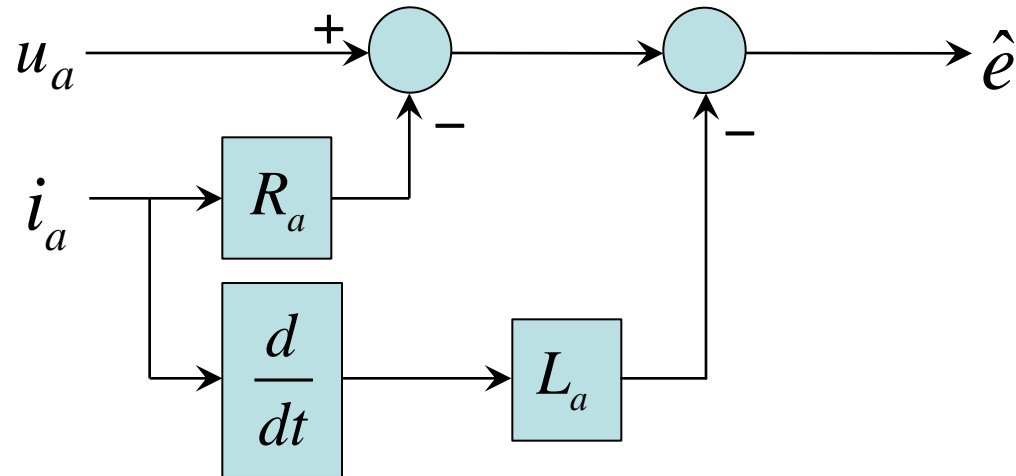


# Upravljanje motorom kod regulacije brzine u proširenom opsegu brzina (sa slabljenjem polja)

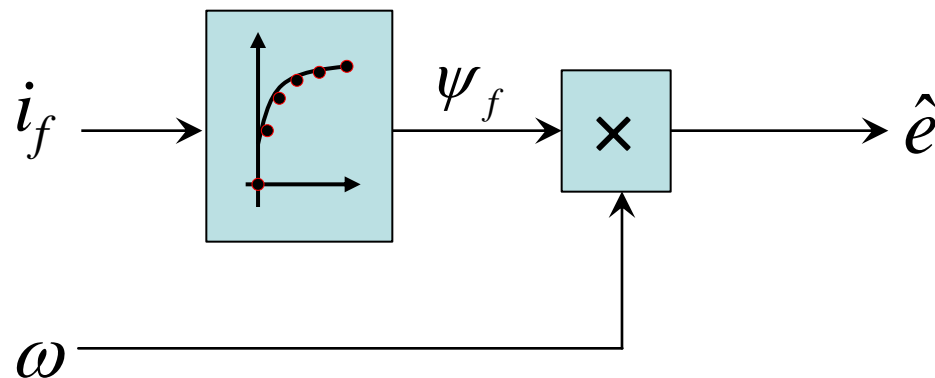


Merenje elektromotorne sile nije moguće.  
Izračunava se na osnovu merenja dostupnih veličina.

Prvi način: merenjem struje i napona indukta



Drugi način: merenjem struje pobude i brzine



# Blok dijagram sistema pri brzini većoj od nominalne

